

VYSOKÁ ŠKOLA STROJNÍ A TEXTILNÍ V LIBERCI

Nositelka řádu práce

FAKULTA STROJNÍ

Obor 23 - 21 - 8

Stroje a zařízení pro chemický, potravinářský
a spotřební průmysl

Zaměření

BALÍCÍ A POLYGRAFICKÉ STROJE

Katedra částí strojů a mechanismů

MANIPULACE A DOPRAVA ODPADOVÉHO PAPÍRU V TISKÁRNĚ

KST / 78

Pavel N Á P L A V A

Vedoucí diplomové práce: Doc.Ing. Štěpán Beneš, CSc,

VŠST Liberec

Rozsah práce a příloh:

počet stran	53
počet tabulek:	9
počet obrázků:	9
počet příloh:	5
počet výkresů:	6
počet grafů:	1
počet skic:	18 /viz pozn.str.47/

Vysoká škola: strojní a textilní Fakulta: strojní
Katedra: části strojů a mech. Školní rok: 1985/86

ZADÁNÍ DIPLOMOVÉ PRÁCE

(PROJEKTU, UMĚLECKÉHO DÍLA, UMĚLECKÉHO VÝKONU)

pro Pavla Náplavu
obor 23-21-8, zaměření balicí a polygrafické stroje

Vedoucí katedry Vám ve smyslu nařízení vlády ČSSR č. 90/1980 Sb., o státních závěrečných zkouškách a státních rigorózních zkouškách, určuje tuto diplomovou práci:

Název tématu: Manipulace a doprava odpadového papíru v tiskárně

Zásady pro vypracování:

Zpracování a likvidace odpadového papíru v n.p. Moravské tiskařské závody Olomouc v současné době klade vysoké nároky na prostor a ruční práci. Provedte:

1. Rozbor současného stavu v uvedeném závodě a rozbor možnosti moderního řešení
2. Alternativní návrh pro podmínky MTZ n.p. Olomouc
3. Zhodnocení a výběr optimálního řešení zadaného problému
4. Konstrukční řešení potřebných zařízení pro manipulaci s odpadem
5. Ekonomické zhodnocení navrženého řešení

Do 20.12.1985 provedte body 1 až 2.

VYSOKÁ ŠKOLA STROJNÍ A TEXTILNÍ
Ústřední knihovna
LIBEREC 1, STUDENTSKÁ 5
PSČ 461 17

V69/86.5

Rozsah grafických prací: 2 x A3

Rozsah průvodní zprávy: 35 stran

Seznam odborné literatury:

Vedoucí diplomové práce: Doc. Ing. Štěpán Beneš, CSc.

Datum zadání diplomové práce: 26.3.1959

Termín odevzdání diplomové práce: 23.5.1959


doc. Ing. Vojtěch Beneš
Vedoucí katedry


doc. Ing. Jan Maxián, CSc.
Děkan

v Liberci dne 22.5.1959 19.50

MÍSTO PŘÍSEŽNÉ PROHLÁŠENÍ

Místopřísežně prohlašuji, že jsem diplomovou práci vypracoval samostatně s použitím uvedené literatury.

V Liberci 23.5.1986

Hajlava Pavel

O B S A H	4
Seznam použitých symbolů a zkratek	5
ÚVOD	7
1. ROZBOR SOUČASNÉHO STAVU	9
1.1. Charakter odpadového papíru a místa výskytu.	9
1.2. Množství a způsob dopravy odpadového papíru.	11
1.3. Popis zpracování odpadového papíru v lisovně.	12
1.4. Problémy s expedicí odpadového papíru do n.p. Sběrné suroviny.	13
2. ZHODNOCENÍ ŘEŠENÍ V JINÝCH ZÁVODECH	14
2.1. Způsob pneumatické dopravy papírového odpadu od třínožového řezacího stroje v závodě 7 MOST n.p. SEVEROGRAFIA.	14
2.2. Pneumatická doprava papírového odpadu od třínožového řezacího stroje v závodě 4 SADSKÁ n.p. POLYGRAFIA.	15
3. ROZBOR MOŽNOSTÍ MODERNÍHO ŘEŠENÍ	17
3.1. Automatická mechanická doprava.	17
3.2. Automatická pneumatická doprava. 3.2.1. Přednosti a nedostatky pneumatické dopravy.	20
3.2.2. Návrh a výpočet parametrů pneumatické dopravy.	21
4. ALTERNATIVNÍ NÁVRH PRO PODMÍNKY ZÁVODU OLOMOUC	32
4.1. Popis navrhované varianty "A".	34
4.2. Popis navrhované varianty "B".	40
5. ZHODNOCENÍ A VÝBĚR OPTIMÁLNÍHO ŘEŠENÍ	44
6. KONSTRUKČNÍ ŘEŠENÍ VARIANTY "B"	47
7! EKONOMICKÉ HODNOCENÍ	50
ZÁVĚR	52
LITERATURA	53

SEZNAM POUŽITÝCH SYMBOLŮ A ZKRATEK.

- b - šířka /m/
d - průměr /m/
f - součinitel tření /1/
g - tíhové zrychlení /m s⁻²/
k - Gasterstádtův součinitel /1/
l - délka /m/
m - hmotnost /kg/
n - měrný příkon /kWh kg⁻¹m⁻¹/
p - tlak /Pa/
v - rychlosť vzduchu /m s⁻¹/
 v_s - rychlosť vznosu /m s⁻¹/
w - ustálená rychlosť dopravovaného materiálu /m s⁻¹/
F - síla /N/
H - převýšení dopravní trasy /m/
L - délka dopravní trasy /m/
Mm - hmotnostní průtok dopravovaného materiálu /kg s⁻¹/
Mv - hmotnostní průtok dopravního vzduchu /kg s⁻¹/
N - výkon /W/
- příkon /W/
O - obvod /m/
R - měrný tlakový spád /Pa m⁻¹/
Re - Reynoldsovo číslo /1/
S - plocha, průřez /m²/
V - objemový průtok /m³s⁻¹/
W - aerodynamická síla /N/
 α - úhel /rad/
 β - součinitel polohy oblouku /1/
 ϵ - ekvivalentní drsnost stěny /m/

- ξ - součinitel místního odporu /1/
 η - účinnost /1/
 λ - součinitel tření při proudění kapaliny v potrubí /1/
 μ - hmotnostní směšovací poměr dopravní /1/
 ν - kinematická viskozita $/\text{m}^2\text{s}^{-1}$ /
 ξ - součinitel odporu proti pohybu materiálu v potrubí /1/
 ρ - měrná hmotnost $/\text{kg m}^{-3}$ /
 ψ - sypný úhel materiálu /rad/
 ψ - odporový součinitel částice /1/

Ú V O D .

Hlavní směry hospodářského a sociálního rozvoje na léta 1986 - 1990 a výhled do roku 2000, přijaté na XVII.sjezdu, ukazují cesty jak realizovat urychlení rozvoje našeho národního hospodářství. Mezi jinými, je to především rozhodné zlepšení efektivnosti a kvality celého výrobního procesu, vyšší zhodnocování energetických, surovinových, materiálových, pracovních a finančních vstupů, které máme k dispozici. Jde tedy o podstatný růst osobní spotřeby na základě urychlení rozvoje ekonomiky prosazením všestranné intenzifikace a hospodárnosti a důsledným nástupem realizace výsledků vědeckotechnického pokroku v praxi.

Znamená to také, že v ničem nezastaraly požadavky, které lze shrnout pod známé heslo - být dobrým hospodářem na svém pracovišti. Odpovědně, tvořivě přistupovat k práci, hledat rezervy, možnosti k vyšším úsporám i výkonům, odvádět kvalitní práci. K tomu stojí za uvážení, že předpokládaného růstu národního důchodu o 18 - 19% v 8. pětiletce musíme dosáhnout nepoměrně vyššími tempy růstu efektivnosti než dosud a přitom bez vyšších nároků na suroviny, materiální a energetické zdroje. Na každém úseku činnosti by se měl každý zamýšlet nejen kolik se vyrobí, ale také za kolik, s jakou potřebou vstupů, s jakými technickoekonomickými parametry. Množství materiálu, surovin a výrobků, které na příklad u nás vstupují do manipulačního procesu, je na jednotku hrubého společenského produktu asi 2x vyšší než v některých hospodářských vyspělých zemích.

Přes řadu opatření realizovaných v posledních letech, ná-

roky na oblast manipulace a přepravy vztřístají, takže je v ní v současné době zaměstnáno téměř 2.mil. pracovníků, což představuje asi 28% z celkového počtu všech pracujících v našem národním hospodářství.

Pod zorným úhlem těchto skutečností stojí i problematika této diplomové práce, zabývající se dosavadními problémy v praxi a dále týkající se racionalizačních opatření při manipulaci a přepravě odpadového papíru, jako důležitého druhotného surovinového zdroje úspor a zvláště pak jeho efektivnějšího zhodnocení v polygrafických závodech.

V polygrafických závodech zpracovávajících jako hlavní surovinu papír, je tento také nejčastějším odpadem. A není ho málo. Roční množství se pohybuje řádově v tisících tunách. Z poloviny jeho množství by se na příklad dala vyrobit všechna lepenka potřebná pro vazbu knih. Je zajímavé, že zdokonalováním techniky vzniká zatím stále větší množství odpadu. V některých tiskárnách se pohybuje až kolem 20% z celkem potištěného papíru.

Papírový odpad je cenná druhotná suroviná, která se dá maximálně zhodnotit a použít v papírenské výrobě. Tržba za jeho prodej představuje značnou finanční částku. V Moravských tiskářských závodech n.p. Olomouc v závodě 11 tato částka ročně představuje přibližně 682 tis.Kčs za odevzdaných 853 tun odpadového papíru Sběrným surovinám. Na druhé straně je však pro tiskárenský provoz zdrojem organizačního a pracovního zatížení. Při manuální dopravě a balení, což je velmi namáhavá a nepříjemná práce, se zaměstnává řada pracovníků, sice pomocných, ale právě těch je stále větší nedostatek. Práce a

starosti s likvidací odpadového papíru zaměstnává zároveň také řídící pracovníky.

V moderní průmyslové výrobě s mechanizací a automatizací výroby a dopravy, je třeba mechanizovat a automatizovat i dopravu odpadů. U moderních výrobních linek je okamžitý a neustálý odsun odpadu dokonce nutností, bez které stroj nepracuje.

V současné době, jak vyplývá ze závěrů pro 8.větiletku, bude třeba klást větší důraz na třídění jednotlivých druhů odpadového papíru, protože tříděný dle druhů je více ceněn. Smíšený papír je pro papírenský průmysl poměrně nekvalitní surovina, která má jen velmi omezené použití. Nejlépe se třídí odpadový papír přímo při svém výskytu. Jde vlastně o zachování druhů, které je potřeba udržet při výskytu, dopravě, případně skladování a lisování odděleně.

1. ROZBOR SOUČASNÉHO STAVU.

1.1. Charakteristika odpadového papíru a místo výskytu.

a/ STRŽKY - většinou pásy nepotiskovaného papíru. Vyskytuje se jako odpadový papír u rotčních kotoučových tiskových strojů při zavádění papíru do tiskového stroje a započetí tisku. Výskyt je ve třech odděleních závodu. V oddělení pro tisk novin u novinové rotačky, v offsetové strojovně u dvou rotčních kotoučových strojů a v rotční knihtiskové strojovně.

toučového papíru. Tento druh odpadu pro nevhodnost dalšího zpracování sběrné suroviny neodebírají. Proto se tímto druhem odpadu dále nebudeme zabývat.

c/ MAKULATURA - potiskané archy nebo složky papíru nevhodné pro další zpracování nebo expedici. Vysky-

g/ PAPÍROVÝ OBRUS - jemný papírový obrus s prachem. Vzniká u linky pro výrobu knižních vazeb typu V 2 po odfrézování hřbetů knižních bloků. Pro tento druh odpadu bude závodem instalován briketovací lis.

h/ VÝSEK - slepené archy s vysekanými otvory. Vyskytuje se při výrobě etiket u pěti vysekávacích strojů.

1.2. Množství a způsob doopravy odpadového papíru.

Viz příloha č.1.

Z oddělení pro tisk novin se za směnu přiveze jako papírový odpad přibližně 20 kg makulatury a 50 kg stržek. Ten-to odpad je dopravován v proutěném koši na paletovém vozíku chodbami kolem oddělení stereotypie až do oddělení lisování odpadového papíru. Tuto dopravu obstarává pracovník z oddělení tisku novin.

V knihtiskové strojovně je vždy u dvou sousedních strojů jeden proutěný koš do kterého se ukládá makulatura. Pro 11 strojů je zde 6 košů. Za směnu se zde nabromadí asi 30 kg makulatury z celého oddělení. Odvoz plných proutěných košů s makulaturou má na starosti pomocný dělník knihtiskové strojovny, což je jeho částečná pracovní náplň. Koše odváží na paletovém vozíku přes rotační knihtiskovou strojovnu.

V offsetové strojovně se za směnu vyskytne jako papírový odpad přibližně 100 kg makulatury a 150 kg stržek. Odpadový papír je ukládán do ohradových palet ve kterých je odvážen přes knihtiskovou strojovnu, chodbami kolem oddělení stereotypie do oddělení odpadového papíru. Odvoz zajišťuje pomocný pracovník offsetové strojovny.

V oddělení dokončujícího zpracování je situace nejtíživější. Za směnu se zde vystýne 1400 - 1800 kg odřezů papíru, 3 až 4 velké igelitové pytle plné papírového obrusu a 30 kg výseku. Odřezy u trojžezu SDY-EZ, který zakončuje linku LBW, padají na nově instalovaný pásový dopravník. Dopravník odstraňuje obtížné ruční nakládání odřezů do ohraďových palet. Odřezy u linky na výrobu vazeb typu V 1 padají přímo z dopravního násu linky do proutěného koše a odtud se vysypávají ručně do ohraďových palet. Odřezy vyskytující se u jednočcových řezacích strojů jsou ukládány do ohraďových palet. Zbytky papíru z výseku etiket jsou ukládány do polovičních ohraďových palet. Ohraďové palety jsou dopravovány přes oddělení přípravy papíru k lisování. Odvoz obsluhávají v tuto oddělní dva pomocní pracovníci.

Z oddělení přípravy papíru se za směnu odvezou 250 kg odřezů a obalového papíru. Odpadový papír je odvážen v dřevěných bednách. Bedny si většinou odváží po naplnění každý pracovník od řezačky sám.

V oddělení rotační knihtiskové strojovny se za směnu vystýne 240 kg strážků a 30 kg makuletry. Tento odpad je odvážen v polovičních ohraďových paletách chodbou do oddělení lisování odpadového papíru.

Ze skladu archového a kotoučového papíru se za směnu přiveze k lisování přibližně 30 kg obalového papíru v ohraďové paletě.

1.3. Popis zpracování odpadového papíru v lisovně.

Pro značné množství odpadu ze všech oddělení tiskárny je odpadový papír lisován ve dvou paketovacích lisech PL 12. Tyto lisy obsluhují v jednosměrném provozu 3 pracovníci.

Plnění lisů se provádí ručně. Nejprve se otevřou horní dveře lisu a odklopí se příčník. Na dno lisu se položí lepenka nebo několik archů papíru. Komora lisu se začne ručně plnit materiélem. Když vrstva dosáhne horního okraje dveří, zavřou se i horní dveře a pokračuje se v plnění. Přiklopením se samočinně zapne motor. Pomalým sklopením páčky "beran" na hydraulickém rozvaděči do polohy dolů se beran začne pohybovat směrem dolů. Po celou dobu pohybu je nutné páčku držet stlačenou. Po zastavení beranu se páčka pomalu překlopí do horní polohy. Tak se odklápi příčník s beranem, komora se doplní a materiál se znova slisuje. Tento postup se několikrát podle potřeby opakuje.

Na poslední vrstvu se opět položí lepenka, nebo několik archů papíru a po slisování se beran nechá v dolní poloze, vypne se hlavní vypínač. Otevřou se oboje dveře, drážkami se protáhnou vázací dráty a na přední straně balíku se sváží. Zapne se hlavní vypínač a pokračuje se tak, že při otevřených dveřích se zvedne beran do horní polohy a páčka označená "vyhazovač" se sklopí dolů. Tím se balík z lisu vysune. Po odvezení hotového balíku se odklopí příčník, zavřou dolní dveře a celý postup lisování se opakuje.

1.4. Problémy s expedicí odpadového papíru do n.p. Sběrné suroviny.

Denně slisuje oddělení lisování odpadového papíru v průměru 30 balíků. Během týdne se tudíž nahromadí přibližně 150 balíků. Tento stále přirůstající počet balíků se hromadí v prostoru dvora a ostatních volných prostorech závodu. Tato situace bývá často zdrojem organizačních problémů. Z těchto důvodů je snaha zajišťovat pravidelný odvoz odpadu.

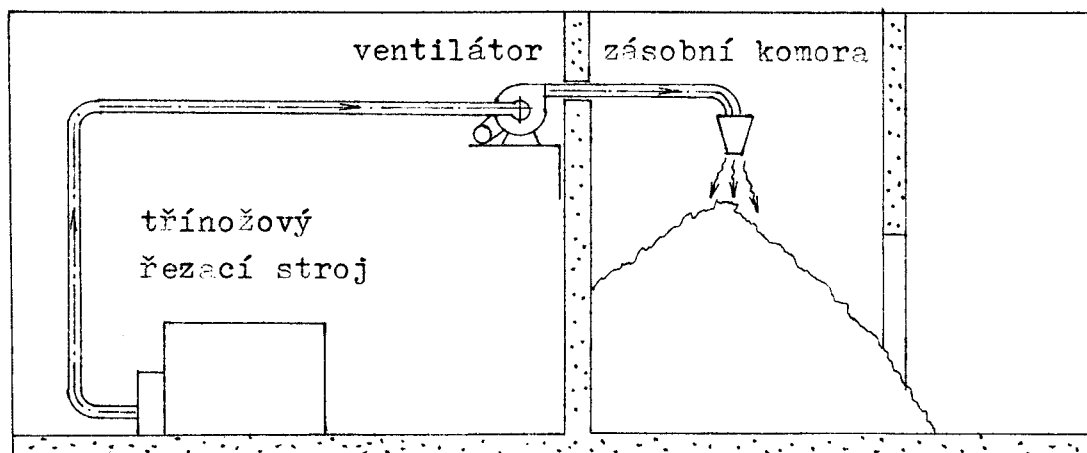
Problémem však bývá doprava v období sklizní, kdy železniční doprava je plně vytížena a není možno zajistit pro přepravu odpadu do Sběrných surovin železniční vůz.

K odběru odpadového papíru mají Sběrné suroviny připomínky týkající se především v nedodržování smluvěně hmotnosti balíků, která je vlivem různé plošné hmotnosti druhů papíru rozdílná. Vyskytly se i případy, kdy balíky odpadového papíru obsahovaly předměty, které by se v nich neměly vyskytovat vůbec, jako na příklad sklenice, pracovní obuv, štočky a jiné nevhodné předměty. Z těchto případů je zřejmé, že nedostatky jsou způsobeny zejména nedostatečnou odpovědností pracovníků při zpracování odpadu a nedostatečnou organizací práce.

2. ZHODNOCENÍ ŘEŠENÍ V JINÝCH ZÁVODECH.

2.1. Způsob pneumatické dopravy papírového odpadu od třínožového řezacího stroje v závodě 7 MOST n.p. SEVEROGRAFIA.

V Mosteckém závodě je instalován smíšený systém pneumatické dopravy /obr.1/.



Obr.1 Smíšený systém pneumatické dopravy.

Nevýhodou tohoto systému je, že dopravní ventilátory jsou umístěny uprostřed dopravní cesty odpadového papíru. Při vnik-

nutí většího kusu, na příklad přepūlená kniha, zamezí otáčení oběžného kola radiálního ventilátoru, což se projeví v prokluzování a pískání řemenic, kterými je ventilátor poháněn od elktromotoru. Odstranění této malé závady, leč zdržující výrobu, je jednoduché: vypnout výrobní linku i pneumatický systém, otevřít kontrolní otvor a vyjmout odpad bránící plynulé dopravě.

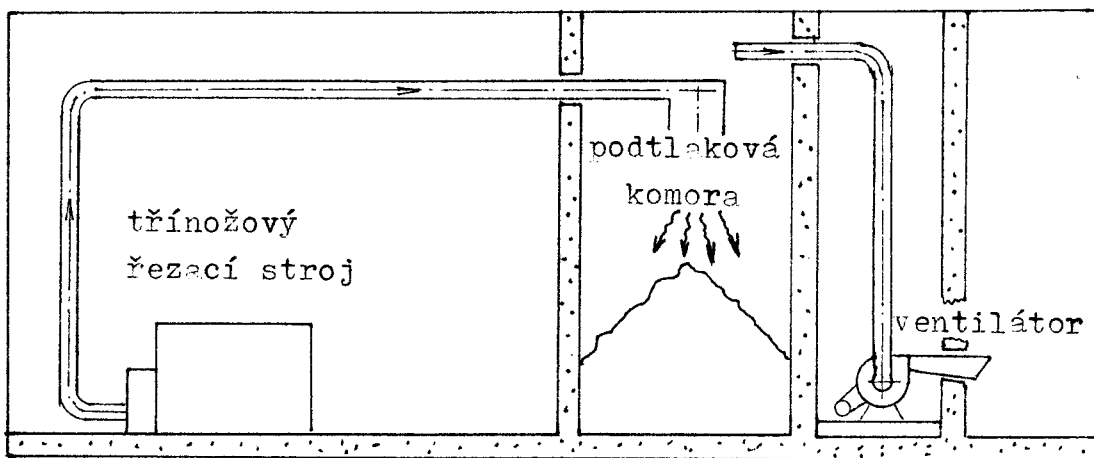
Dopravní radiální ventilátory jsou umístěny přímo v oddělení knihařského zpracování, což je důsledkem dalšího negativního jevu, kterým je zvýšená hlučnost od dopravního ventilátoru už v tak dosti hlučném pracovním prostředí.

Dalším velmi negativním jevem je velká prašnost v lisovně. Papírový prach vzniká při vlastním řezání v trojřezu a hlavně pak uvolněním a otěrem v potrubí, ve kterém je odřez doprovázen značnými rychlostmi do zásobní komory. Jelikož se zásobní komora musí vybírat ručně, tak se prach doprovázený pneudopravou víří a usazuje se ve velmi značném množství v místnosti vlastního lisování. V této místnosti, pro vysokou prašnost, jsou tak nevhodující pracovní podmínky, že zde žádný pracovník dlouho nevydrží pracovat. Lisovnu nelze totiž dostatečně odvětrat.

2.2. Pneumatická doprava papírového odpadu od třínožového řezacího stroje v závodě 4 SADSKÁ n.o. POLYGRAFIA.

V závodě SADSKÁ je instalován podtlakový systém pneumatické dopravy /obr.2/, kde je využito podtlakové komory, které je odčerpán vzduch ventilátorem. Výhodou tohoto systému je, že dopravovaný materál neprochází přes dopravní ventilátor. Nevýhodou však je, že vybíráni podtlakové komory může být prováděno jen při vypnuté lince na výrobu vazeb a sou-

časně vypnutém pneumatickém systému. Vybíráni odpadu z podtlakové komory je ruční.



Obr.2. Podtlakový systém pneumatické dopravy.

Dopravní radiální ventilátor je umístěn v samostatné místnosti. Jeho hlučnost se tedy neprojevuje na žádném z pracovišť. Frašnost v místnosti lisování odpadového papíru je zanedbatelná. Dopravní vzduch je po odloučení odřezů v podtlakové komoře vháněn mimo fasádu. Okolní prostředí tento vzduch nijak neznečišťuje, což je dáno zřejmě velkou odlučivostí rozměrné odlučovací komory /cca 30 m^3 /.

Sběrné suroviny odvážejí odpadový papír ze závodu nepravidelně. Odvoz zde závisí na uvolnění vagónů v železniční dopravě. Připomínky Sběrných surovin na odpadový papír se týkal pouze zvýšené vlhkosti způsobené skladováním papíru na volném prostranství.

Závěrem lze říci, že pokud nebudou součesně s pneumatickou dopravou instalována protiprašná a protihluková opatření a nebude-li odstraněno ruční plnění lisů pak tato doprava přináší zároveň se zlepšením manipulace s odpadovým papírem mnoho problémů s pracovním prostředím.

3. ROZBOR MOŽNOSTÍ MODERNÍHO ŘEŠENÍ.

3.1. Automatická mechanická doprava.

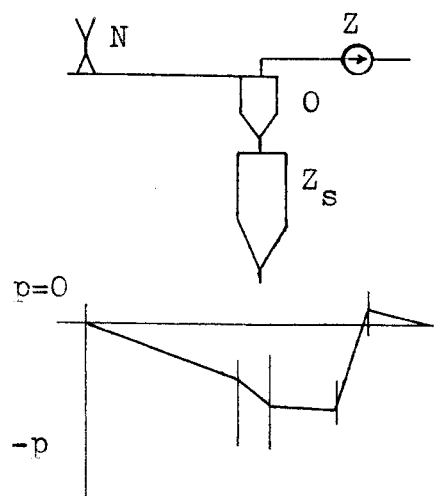
Papír se dopravuje od míst výskytu až k místu uložení nebo lisování pásovými dopravníky opatřenými bočnicemi a zavěšenými zpravidla pod stropem spodního podlaží, pod výrobní halou. Stroje produkující odpad je potřeba umístit v tomto případě nad pásem /vytvořit vhodnou dispozici s ohledem na pás/, odpad spadává, nebo se vyhazuje shozy /otvory v podlaze/ na dopravní pás. Pro závod Olomouc tato možnost nepřichází v úvahu, protože mítnosti, ve kterých se vyskytuje odpadový papír jsou přízemní. Sběrné dopravníky mohou být však umístěny i v též podlaží se stroji, například u stěny, aby nepřekážely provozu, nebo uloženy mimoúrovňově s přívodem odřezů od strojů užšími dopravníky i ve sklonu nahoru. Využití sklonu se doporučuje do 28°.

Výhoda této automatické dopravy odpadového papíru spočívá v menších pořizovacích nákladech /není potřeba náročného zařízení jako u pneumatické dopravy/. Mechanická doprava umožnuje při vhodném uspořádání pásů i třídění, zejména vybíráni /ruční/ předmětů nepatřící do odpadového papíru nebo příměsí jiných druhů přímo na pásu. Hodí se pro menší a střední knihárenské provozy bez použití automatických linek.

3.2. Automatická pneumatická doprava.

Je vrcholným stupňem dopravy papíru. Neobejdou se bez ní závody s automatickými linkami, například linky na slepování knižního bloku a výrobu lepených brožur, jako linky LBW 651, 653, 654, NORMBINDER a pod. Odřezy se dopravují přímo od míst výskytu. Papíry většího formátu je nutno dělit trhacím zařízením. Podmínkou správné volby pneumatického systému je zna-

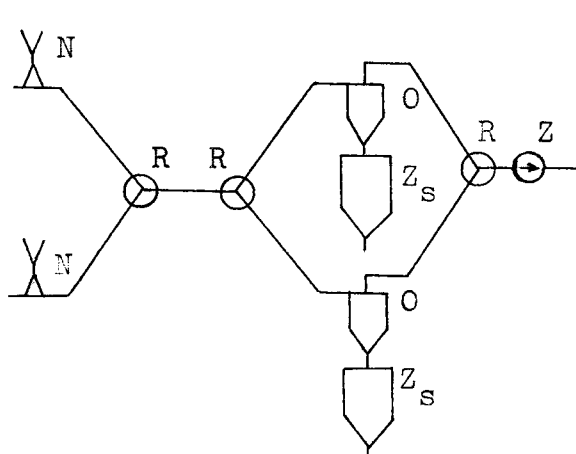
lost jeho nedostatků a předností vůči jiným systémům. Pneumatická doprava v potrubí může být podtlaková, přetlaková, nebo smíšená. Pro pneumatickou dopravu odhadového napětí mohou být použity všechny tři systémy. U podtlakové /sací/ dopravy /obr.3a/ je zdroj dopravního vzduchu umístěn za odlučovačem na konci dopravní trasy.



Obr.3a. Schéma podtlakové dopravy:

N - násypka; O - odlučovač

Z_s - zásobník; Z - zdroj.

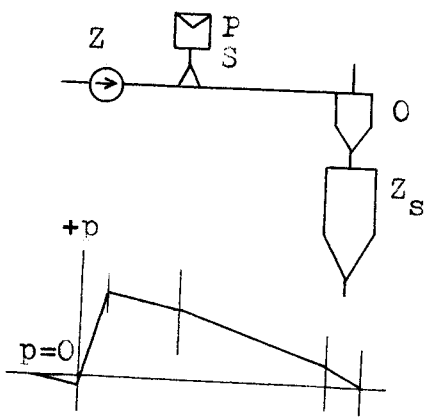


Obr.3b. Schéma podtlakové dopravy se dvěmi místy odběru a se dvěmi úložnými místy: N - násypka; R - rozbočka; O - odlučovač; Z_s - zásobník; Z - zdroj.

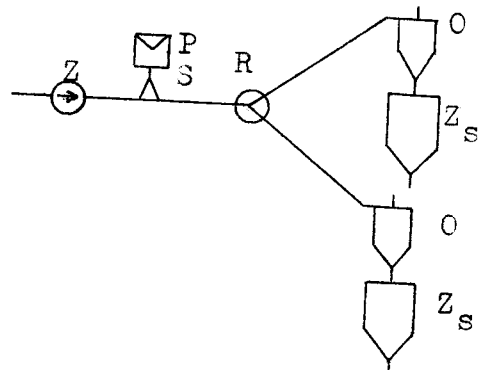
V potrubí je tedy podtlak. Výhodou takového uspořádání je především možnost dopravovat materiál z několika míst odběru /obr.3b/. Vkládání materiálu do proudu dopravního vzduchu je snadné.

U přetlakové dopravy /obr.4a/ je zdroj dopravního vzduchu umístěn před podavačem na začátku dopravní trasy. V potrubí je tedy přetlak. K výhodám přetlakové dopravy patří především možnost dopravovat materiál z jednoho místa odběru na několik míst určení /obr.4b/ a možnost dosahovat značného

tlakového spádu na dopravu. Hlavní nevýhodou je nutnost zvláštního zařízení - podavače - pro vkládání dopravovaného materiálu do proudu dopravního vzduchu.

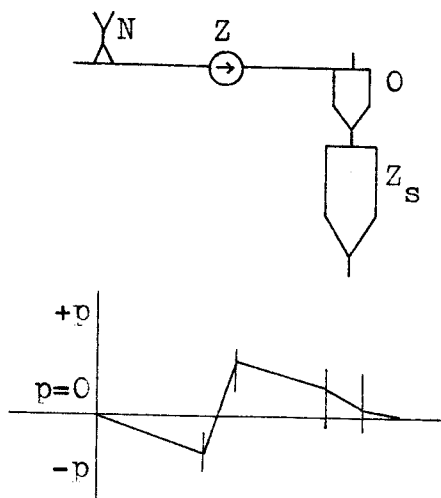


Obr.4a. Schéma přetlakové dopravy: Z_s - zásobník; P - podavač; O - odlučovač; S - směšovač; Z - zdroj.



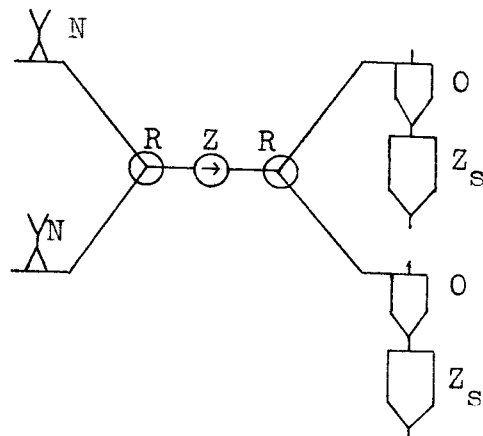
Obr.4b. Schéma přetlakové dopravy se dvěmi úložnými místy: P - podavač; S - směšovač; R - rozbočka; Z_s - zásobník; O - odlučovač; Z - zdroj.

U smíšené dopravy /obr.5a/ je zdroj dopravního vzduchu umístěn uprostřed dopravní trasy. V části potrubí, připojené k jeho sacímu otvoru, je podtlak a ve zbývající části přetlak. Smíšená doprava spojuje některé výhody podtlakové i přetlakové dopravy; možnost dopravovat materiál z několika míst odběru na několik míst určení /obr.5b/, snadnost vkládání dopravovaného materiálu do proudu vzduchu v podtlakové části zařízení a možnost dosáhnout značného tlakového spádu na dopravu. Hlavní nevýhodou je nutnost zajistit přístup dopravovaného materiálu z podtlakové části do přetlakové.



Obr.5a. Schéma smíšené dopravy:

N - násypka; O - odlučovač;
Z - zdroj; Z_s - zásobník.



Obr.5b. Schéma smíšené dopravy se dvěmi místy odběru a se dvěma úložnými místy: Z - zdroj; N - násypka, R - rozbočka; O - odlučovač; Z_s - zásobník.

3.2.1. Přednosti a nedostatky pneumatické dopravy.

K nejcennějším přednostem před jinými způsoby patří:

- 1/ Možnost vodorovné, svislé i šikmé dopravy jediným zařízením na značnou vzdálenost,
- 2/ vynikající přizpůsobivost k terénu, vnitřnímu uspořádání budov, použitému technologickému zařízení a pod.,
- 3/ možnost kombinace dopravy s jinými technologickými procesy,
- 4/ hygiena dopravního procesu - materiál se pohybuje uvnitř potrubí, takže ovzduší není znečištěno prachem,
- 5/ kompaktnost zařízení, minimální nároky na plochu a prostor, malá hmotnost,
- 6/ dopravník nemá prakticky pohyblivé části s výjimkou ventilátoru a eventuálně podavače,

7/ nižší požadavky na technickou údržbu a opravy.

Současně má však pneumatická doprava závažný nedostatek, a to vyšší měrnou spotřebu energie v porovnání s mechanickými dopravníky. Orientačně lze počítat s měrnou spotřebou v kilowatthodinách na tunu přepravovaného materiálu a metr přepravní vzdálenosti;

- $0,026 \text{ kWh Mg}^{-1}\text{m}^{-1}$ u pneumatických dopravníků,
- $0,013 \text{ kWh Mg}^{-1}\text{m}^{-1}$ u článkových dopravníků a
- $0,0015 \text{ kWh Mg}^{-1}\text{m}^{-1}$ u pásových dopravníků.

Přibližně lze říci, že pneumatické dopravní zařízení je energeticky dvojnásobně náročnější než článkový dopravník a osmnáctkrát náročnější než pásový dopravník.

V některých případech však převáží zmíněné technologické, technické a ekonomické přednosti pneumatické dopravy jednoznačně její energetickou nevýhodnost. Tento nedostatek může být zmírněn na přijatelnou mez správným dimenzováním dopravního zařízení.

3.2:2. Návrh a výpočet parametrů pneumatické dopravy.

Postup návrhu je následující:

- a/ Určení vhodnosti společné dopravy druhů odpadů od jednotlivých strojů,
- b/ určení trasy potrubí od strojů, umístění odlučovačů a ventilátorů,
- c/ odhad hlavní větve, za níž se považuje ta část na sebe navazujících úseků potrubní sítě mezi ventilátorem a koncem

• • • • • + zákonem

Za jeden úsek se považuje taková souvislá část potrubí s konstantní rychlostí včetně místních odporů, jejichž $\Sigma \xi$ je vztažena k téže rychlosti, jako v uvažovaném úseku. Rozhraní úseků obyčejně tvoří obočky nebo přechody.

f/ podle zvolených rychlostí dimenzovat

Za jeden úsek se považuje taková souvislá část potrubí s konstantní rychlostí včetně místních odporů, jejichž $\sum \xi$ je vztažena k téže rychlosti, jako v uvažovaném úseku. Rozhnaní úseků obyčejně tvoří odbočky nebo přechody.

f/ podle zvolených rychlostí dimenzovat průřezy potrubí za současného výpočtu tlakových spádů,

g/ sečtením tlakových spádů /sací a výtlačné části potrubí/ dostaneme celkovou ztrátu potrubí,

h/ podle celkové ztráty potrubí a množství vzduchu protékáho potrubím určíme parametry ventilátorů.

Jednotlivé výpočty je vhodné zapisovat postupně do tabulky.

Pro výpočet parametrů pneumatické dopravy použijeme princip aditivnosti tlakových spádů. Tlakový spád při dopravě směsi materiálu se vzduchem je roven součtu tlakového spádu při proudění samotného vzduchu za týchž podmínek a přidavného tlakového spádu, vyvolaného přítomností dopravovaného materiálu. Při praktickém výpočtu se pak oba tlakové spády dále člení na jednotlivé složky podle povahy překonávaných sil /tabulka 1/.

Tabulka 1. Složky tlakového spádu při pneumatické dopravě materiálu.

čís	Složka na samotný vzduch	... materiál
1	... počáteční urychljení	$\Delta p_{v1} = \frac{\rho w \cdot v^2}{2}$	$\Delta p_{m1} = 2 \frac{w}{v} \mu \cdot \Delta p_{v1}$
2	... tření	$\Delta p_{v2} = R(L + H)$	$\Delta p_{m2} = \mu k \cdot \Delta p_{v2}$
3	... zdvívání	$\Delta p_{v3} = 0$	$\Delta p_{m3} = \frac{m g \rho w}{0,7 \frac{w}{v}} H \cdot \sin \alpha$
4	... znovuzrychljení za místními odpory	$\Delta p_{v4} = \Delta p_{v1} \sum \xi$	$\Delta p_m = \mu \cdot \Delta p_{v1} \cdot \sum \xi \cdot \beta$

Kde Δp je tlakový spád /Pa/

ρ_N - měrná hmotnost vzduchu /kg m⁻³/

v - rychlosť vzduchu /m s⁻¹/

w - ustálená rychlosť dopravovaného materiálu /m s⁻¹/

μ - hmotnostní směšovací poměr dopravní /1/

R - měrný tlakový spád /Pa m⁻¹/

L - délka dopravní trasy /m/

H - převýšení dopravní trasy /m/

k - Gasterstdtuv součinitel /1/

ξ - ztrátový součinitel místního odporu /1/

β - součinitel respektující polohu oblouku /1/

g - tíhové zrychlení /m s⁻²/

α - úhel sklonu potrubí /°/

Měrný tlakový spád lze vyjádřit vzorcem

$$R = \frac{\lambda}{d} \frac{\rho_N}{2} v^2 \quad /Pa m^{-1}/$$

/3.1./

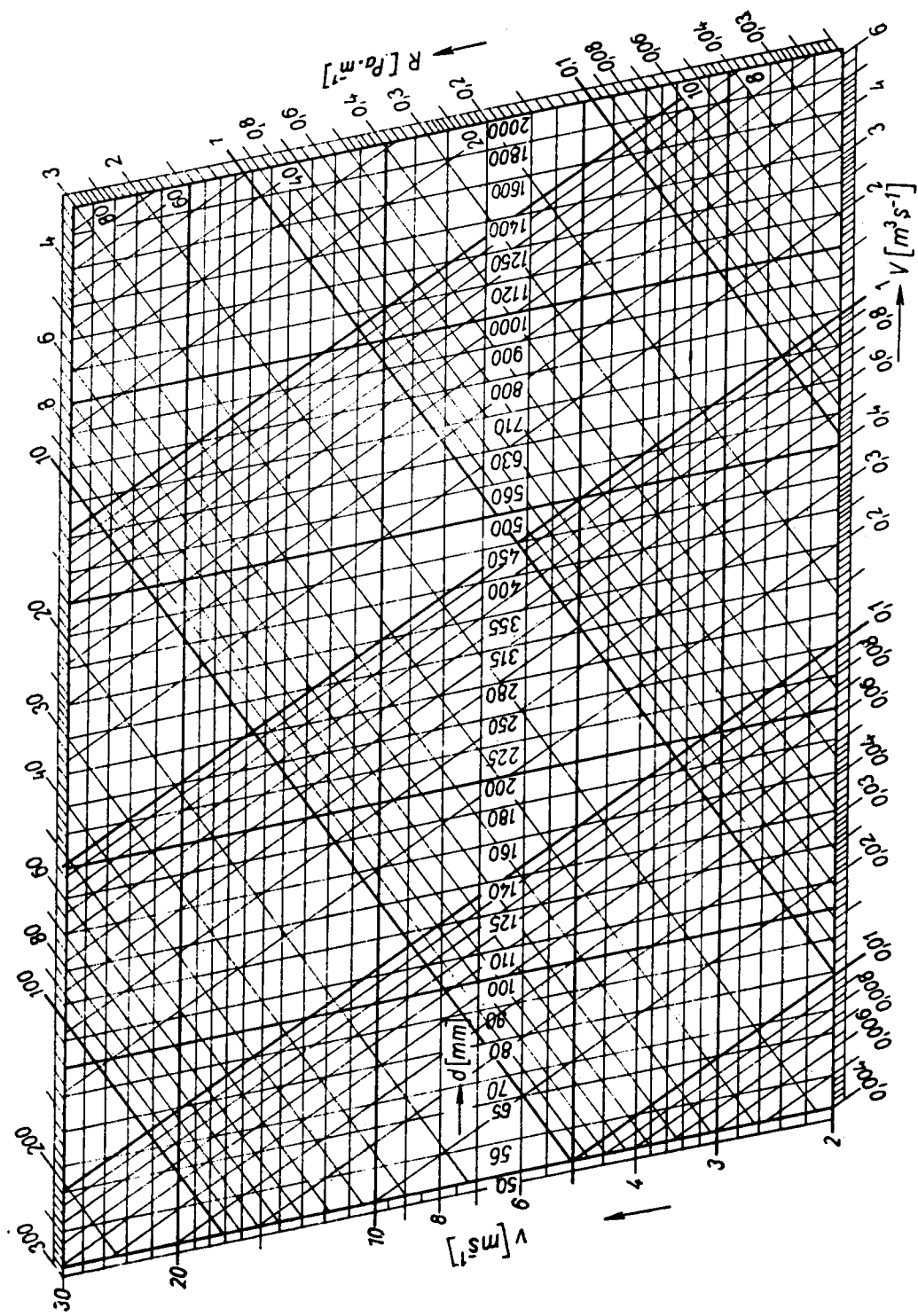
Pro usnadnění výpočtů lze však měrný tlakový spád odečítat z průsečíkového diagramu /obr.6./ pro kruhové potrubí z pozinkovaného plechu o ekvivalentní drsnosti $\epsilon = 0,15$ /mm/ včetně vlivu přírubových spojů pro standartní vzduch o teplotě 20°C, měrné hmotnosti $\rho_N = 1,2$ /kg m⁻³/ a kinematické vaznosti $v = 15,2 \cdot 10^{-6}$ /m²s⁻¹/ . V diagramu je vyjádřena závislost $\lambda = f /Re; \epsilon/d/$ a zobrazena ještě rovnice kontinuity, sloužící k určení rozmerů potrubí kruhového průřezu. Pro stanovení měrného tlakového spádu R stačí znát libovolnou dvojici z veličin v, V, d. Kde V je průtočné množství vzduchu. Pro kruhové potrubí platí vztah

$$V = S \cdot v = \frac{\pi d^2}{4} \cdot v$$

/3.2./

S - plocha průřezu potrubí kolmá na směr proudu vzduchu /m²/

Obr.6. Měrný tlakový spád R v přímých částech kruhového, plechového potrubí [3]



v - dopravní rychlosť vzduchu $/m\ s^{-1}/$

d - průměr potrubí $/m/$

Úhrnný tlakový spád při pneumatické dopravě materiálu je tedy

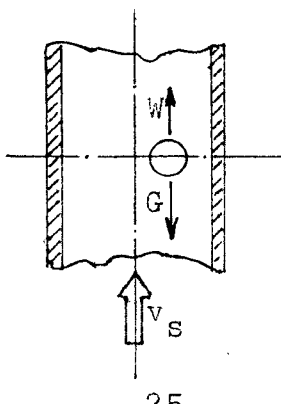
$$\Delta p = \sum_1^4 \Delta p_v + \sum_1^4 \Delta p_m \quad /Pa/ \quad /3.3./$$

Při dopravě odpadu nesmí rychlosť vzduchu klesnout pod mez kdy se materiál začíná usazovat. Doporučené ukazatele pro výpočet potrubních sítí jsou převzaty ze zahraniční literatury [9] a uvedeny v tabulce 2.

Tabulka 2. Doporučené ukazatele při odsávání papírového odpadu od strojů.

stroj	průměr potrubí $d /mm/$	dopravní rychlosť vzduchu $v /m\ s^{-1}/$	množství protékaného vzduchu $V /m^3 h^{-1}/$
třínožový řezací stroj	180-200	23	2600
jednonožový řezací stroj	200-315	25	7000

Důležitou charakteristikou potřebnou pro další výpočet je rychlosť vznosu [1]. Rozumí se jí rychlosť vzestupného proudu dopravního vzduchu ve svislém potrubí, při níž je aerodynamická síla, vyvzovaná proudem vzduchu na částici, právě rovná tíze částice. Částice přitom nestoupá ani neklesá, ale vznáší se jako v beztížném stavu /obr.7/.



Obr.7. Vznos částice

Proud vzduchu působící na vznášející se částici silou

$$W = S \cdot \psi \cdot \frac{\rho_N \cdot v_s^2}{2}$$

/3.4./

kde W je aerodynamická síla /N/

S - plocha částice, vystavená proudu vzduchu /m²/

ψ - odporový součinitel částice /1/

ρ_N - měrná hmotnost dopravního vzduchu /kg m⁻³/

v_s - rychlosť vznosu /m s⁻¹/

Částice tvaru obdélníkové desky se vystaví proudu vzduchu svou největší plochou

$$S = l \cdot b$$

/3.5./

Součinitel odporu ψ

obdélníkové desky [2]

l/b	1	2	4	10	18	∞
ψ	1,1	1,15	1,19	1,29	1,4	2,01

l - délka částice /m/

b - šířka částice /m/

Mezi hodnoty součinitele odporu ψ lze stanovit lineární interpolaci.

$$\text{Z rovnosti sil } W = G \text{ /N/}$$

/3.6./

$$S \cdot \psi \cdot \frac{\rho_N \cdot v_s^2}{2} = m \cdot g$$

/3.7./

rychllosť vznosu

$$v_s = \sqrt{\frac{2 \cdot m \cdot g}{S \cdot \psi \cdot \rho_N}} \text{ /m s}^{-1}/$$

/3.8./

m - hmotnosť částice /kg/

g - tíhové zrychlení /m s⁻²/

Fro výpočet rychlosťi vznosu byly odebrány od strojů vzorky odřezů. Rozměry příslušných vzorků a výpočet rychlosťi vznosu vztažený na soustavu častic /3.8./ je zapsán v tabulce 3.

Tabulka 3. Rozměry odřezů a výpočet rychlosti vznosu.

	m /kg/	l /m/	b /m/	ψ /1/	v_s /m s ⁻¹ /
třínožový řezací stroj	0,016	0,22	0,01	1,455	9
linka na výrobu vazeb typu V1	0,011	0,22	0,02	1,3	5,6
jednonožový řezací stroj	0,02	1,0	0,04	1,5	2,3

Poměr ustálené rychlosti dopravovaného materiálu v k u
rychlosti dopravního vzduchu vypočítáme dle vzorce /3.9./, který vyhovuje pro různý sklon potrubí α od horizontální roviny.

$$\frac{w}{v} = \frac{1 - \sqrt{1 - \left(1 - \frac{\xi}{2} Fr_s\right) \left[1 - \left(\frac{v_s}{v}\right)^2 \sin \alpha - \left(\frac{v_s}{v}\right)^3 \cos^2 \alpha\right]}}{1 - \frac{\xi}{2} Fr_s} / 1 / 3.0 /$$

kde $F_{rs} = \frac{v_s^2}{g \cdot d}$ /1/ je Frudeho podobnostní číslo

ξ - součinitel odporu proti pohybu materiálu v potrubí /1/

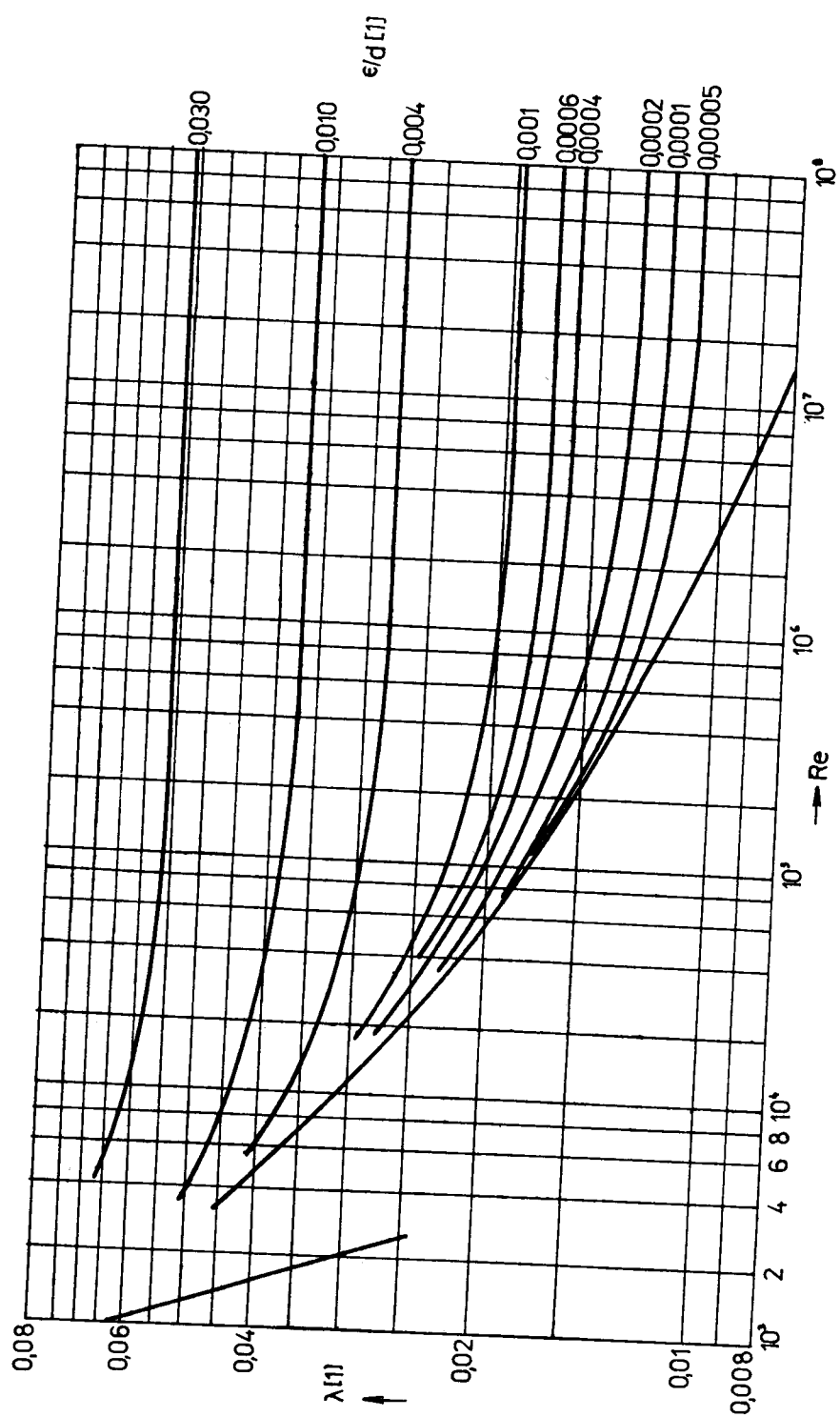
Vzhledem k podobnosti charakteru papírového odpadu s hoblínami vznikajícími v dřevozpracujícím průmyslu byl převzat součinitel odporu proti pohybu $\xi = 0,016$. [1]

Hodnoty poměru rychlostí pro vodorovné potrubí / $\alpha = 0^\circ$ / i pro svislé potrubí / $\alpha = 90^\circ$ /, různou rychlosť dopravního vzduchu a průměr potrubí byly matematicky zpracovány dle vzorce /3.9./ a zapsány do tabulky 4.

... *the Yamagata strata*

Tabulka 4. Poměry rychlostí pro různé parametry.

v_s $/\text{ms}^{-1}$	α $/^\circ$	v $/\text{ms}^{-1}$	d $/\text{m}$	w/v $/1$	v_s $/\text{ms}^{-1}$	α $/^\circ$	v $/\text{ms}^{-1}$	d $/\text{m}$	w/v $/1$
2,3	0	25	0,25	0,881	5,6	0	23	0,18	0,707
			0,28	0,886				0,25	0,735



Graf 1. Součinitel tření λ v závislosti na Re a ϵ/d /podle [10] /

jsou zapsány v tabulce 5.

$$Re = \frac{v \cdot d}{\nu} /1/$$

/3.10.b/

Střední součinitel tření lze vypočítat pomocí vztahu

$$\lambda_{mstř} = \xi \cdot \frac{w}{v} /1/$$

/3.10.c/

Hodnoty Gasterstadtova součinitele jsou vypočítány podle /3.10.a/ a zapsány do tabulky 5.

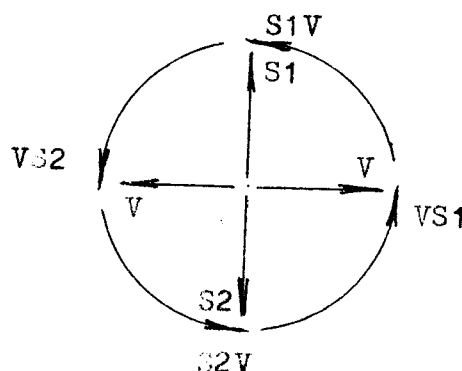
Tabulka 5. Výpočet Gasterstadtova součinitele.

v $/m s^{-1}/$	d $/m/$	Re $/1/$	$/d$ $/1/$	λ $/1/$	w/v $/1/$	$\lambda_{mstř}$ $/1/$	k $/1/$
23	0,18	$2,7 \cdot 10^5$	$8,3 \cdot 10^{-4}$	0,02	0,622	$9,9 \cdot 10^{-3}$	0,5
	0,25	$3,8 \cdot 10^5$	$6,0 \cdot 10^{-4}$	0,0185	0,622	$9,9 \cdot 10^{-3}$	0,54
25	0,25	$4,1 \cdot 10^5$	$6,0 \cdot 10^{-4}$	0,0182	0,877	0,014	0,77
	0,28	$4,6 \cdot 10^5$	$5,3 \cdot 10^{-4}$	0,0175	0,877	0,014	0,8
28	0,28	$5,1 \cdot 10^5$	$5,3 \cdot 10^{-4}$	0,017	0,877	0,014	0,83
	0,355	$6,5 \cdot 10^5$	$4,2 \cdot 10^{-4}$	0,017	0,877	0,014	0,83
	0,45	$8,3 \cdot 10^5$	$3,3 \cdot 10^{-4}$	0,016	0,877	0,014	0,88

Velikosti součinitelů vřazených odporů ξ pro různé tvárové kusy jsou převzaty z literatury [1][3][4][5].

Součinitel β respektující polohu oblouku obr.8 je podle Sjajadzia [4] roven

$$\beta = \begin{cases} 4 & - \text{pro oblouk VS1} \\ 1 & - \text{pro všechny ostatní} \end{cases}$$



Obr.8 Označení poloh

oblouků ve svíslé rovině

Hmotnostní směšovací poměr dopravní stanovíme dle vztahu

$$\mu = \frac{M_m}{M_v} = \frac{M_m}{S \cdot v \cdot \rho_n} \quad /3.11./$$

kde μ je hmotnostní směšovací poměr /1/

M_m - hmotnostní průtok dopravního materiálu $/kg \ s^{-1}/$

M_v - hmotnostní průtok dopravního vzduchu $/kg \ s^{-1}/$

S - průřez dopravního potrubí $/m^2/$

v - rychlosť dopravního vzduchu $/m \ s^{-1}/$

ρ_n - měrná hmotnost vzduchu $/kg \ s^{-3}/$

Směšovací poměry pro odřezy od strojů jsou vypočteny dle /3.11./ a zapsány v tabulce 6.

Tabulka 6. Výpočet směšovacích poměrů

odřezy od strojů ...	M_m $/kg \ s^{-1}/$	d $/m/$	S $/m^2/$	v $/m \ s^{-1}/$	μ $/1/$
... třínožový řezací stroj a linka na V1	0,05	0,18	0,025447	23	0,071
	0,08	0,2	0,031415	23,5	0,09
	0,1	0,25	0,049087	23,85	0,071
... jednonožový řezací stroj	1,13 ⁺	0,25	0,049087	25,5	0,752
	1,13 ⁺	0,28	0,061575	25	0,612
	2,46	0,355	0,098979	28,2	0,675
	3,39	0,45	0,159043	28,5	0,623

+ Jelikož jde o pravidelný výskyt je hodnota určena průměrem okamžitého hmotnostního průtoku $/2,2 kg \ s^{-1}/$ a průměrného hmotnostního průtoku materiálu $/0,06 kg \ s^{-1}/$.

Pro výpočet větvení potrubí sítě je použita rovnice kontinuity, kterou je možno psát ve zjednodušeném stavu

$$v_1 \ S_1 = v_2 \ S_2 = \text{konst. } /m^3 \ s^{-1}/ \quad /3.12./$$

1,2 indexy vztažené k průměru v potrubí 1,2.

Pro výpočet tlakové ztráty třením v příslušných částech hranatého potrubí lze použít obrázku 6., kde pro vyhledávání měrného tlakového spádu použijeme za předpokladu stejných průtočných množství ekvivalentního průřezu dle vztahu

$$d_{\text{vek}} = 1,265 \sqrt[5]{\frac{a^3 \cdot b^3}{a + b}} \quad /m/ \quad /3.13./$$

Výkon pneumatické dopravy je teoreticky roven

$$N = \Delta p \cdot V \quad /3.14./$$

kde N je výkon /W/

Δp - tlakový spád pneumatické dopravy /Pa/

V - objemový průtok dopravního vzduchu / $m^3 s^{-1}$ /.

Při 25%ní záloze výkonu na rozběh elektromotoru a při účinnosti elektromotoru spolu s převodem a zdrojem dopravního vzduchu činí potřebný příkon elektromotoru

$$N_e = \frac{1,25 N}{1000 \cdot \eta} \quad /kW/ \quad /3.15./$$

Ekonomické poměry lze vyjádřit měrným příkonem na dopravu

$$n = \frac{\frac{N}{M_m} e}{\frac{M_m}{3,6} (L + H)} \quad /kWh kg^{-1} m^{-1}/ \quad /3.16./$$

M_m - hmotnostní průtok materiálu /kg s^{-1} /

4. ALTERNATIVNÍ NÁVRH PRO PODMÍNKY Z VODU OLOMUC.

V oddělení pro tisk novin, knihtiskové strojovny, ofsetové strojovny, rotační knihtiskové strojovny a sítidlu papíru není navrhováno žádné usnadnění dopravy odpadového papíru pro výskyt malých množství. Mechanická nebo pneumatická doprava by zde byla technicky náročná a velmi neefektivní. Doprava odpadového papíru z této oddělení se bude tedy nadále uskutečňovat současným způsobem a současnými prostředky. Zařízení bude

pouze v dopravních cestách do přemístěného oddělení lisování, kde je třeba přemístit dva hydraulické lisy PL 12. Dopravní cesty odpadů jsou naznačeny ve variantách "A" i "B" v příloze 2. U obou navrhovaných variant jsou cesty z uvedených oddělení stejné. Přemístění je navrhováno z důvodu zkrácení dopravní trasy od míst, kde je množství odpadového papíru největší, t.j. v oddělení dokončujícího zpracování. Dále pro kratší cestu slisovaných balíků na místo úložiště, které je na dvoře závodu. Důraz bude kladen na zachování druhů zejména makulatury a stržků, které je třeba udržet při výskytu, dopravě, případně skladování a lisování odděleně v důsledku většího ekonomického zhodnocení při prodeji této suroviny n.p. Sběrné suroviny.

V oddělení přípravy papíru jsou pro dopravu od dvou jednonožových řezacích strojů navrženy dva pásové dopravníky typu PNPT 605 o šířce pásu 500 mm, L = 6000 mm, Ne=1,5 kW a typu PNPT 805 o šířce pásu 500 mm, L = 8000 mm, Ne=1,5 kW. Tyto dopravníky budou doprovádat odpadový papír do zásobníku umístěného v oddělení lisování. Zásobník bude vybírána výškovým otvorem pomocí pásového dopravníku typu PNPT 405 v šířce pásu 500 mm, L = 4000 mm, Ne = 1,5 kW přímo do hydraulického lisu PL 12. Nevhodnější je umístit v oddělení přípravy papíru pásové dopravníky co nejbliže ke zdi, aby nezabíraly cenný pracovní prostor. Jednonožové řezací stroje je třeba přemístit do vhodnější polohy k dopravníkům. Zdvihací zařízení obou řezacích strojů je třeba přemístit na druhou stranu řezacích strojů.

Pro všechny varianty pneumatické dopravy byl zvolen podtlakový systém / viz kap. 3.2./. Tento systém má zdroj do-

dopravního vzduchu umístěn za odlučovačem. Ventilátor lze tedy umístit i mimo pracoviště, kde by hlučnost neměla vliv na pracovní prostředí. Dále přes něj nepřechází dopravovaný materiál, který by mohl zabránit otáčení oběžného kola ventilátoru a tím si vynutit zastavení i výrobní linky.

4.1. Popis navrhované varianty "A".

V oddělení dokončujícího zpracování jsou umístěny jedno-nožové řezací stroje. U těchto strojů se vyskytuje stejný charakter odpadového papíru /pásy dlouhé až 1000 mm/, proto je zde navržen skubinový podtlakový systém pneumatické dopravy /varianta A-1/. Návrh parametrů a rozměrů varianty jsou uvedeny v tabulkách 7a, 7b. Výpočty jsou provedeny dle kapitoly 3.2.2. U každého řezacího stroje je umístěno sací hrdlo, do kterého se přímo shazuje odpadový papír. Taždá větev je opatřena kruhovým průběžným šoupátkem, kterým se může v případě potřeby uzavřít dopravní cesta. Odpadový papír je odváděn pomocí nosného vzduchu kruhovým potrubím zavřeným pod strojem. K odsávání je navržen radiální vysokotlaký ventilátor RVE 800 PM 12 3349, $V = 4,53 \text{ m}^3 \text{s}^{-1}$, $\Delta p_c = 6700 \text{ Pa}$, poháněný elektromotorem F 250 M02, $N_e = 55 \text{ kW}$, $n = 2970 \text{ min}^{-1}$. Ventilátor s elektromotorem je uložen pomocí pružinového izolátoru, který tlumí chvění přenášené do základů a ostatních konstrukcí. Odpadový papír je odsán do odlučovače SPIN 1600. Odlučovač je umístěn na střeše budovy. Odloučený odpad bude padat do plechového zásobníku umístěného v budově pod odlučovačem. Zásobník je uzavřen průběžným šoupátkem. Po naplnění zásobníku musí být systém pneumatické dopravy vypnut a pak může být zásobník vybírána. Vybirání musí být prováděno ve stanovených časových intervalech, aby se zásobník nepřeplnil. Obsah zásobníku je vybírána

Tabulka 7a. VÝPOČET PNEUMATICKÉ DOPRAVY PRO ŘEŠENÍ A-1.

Ukazatel	Označení /Rozměr/	Hodnoty úseku 1	Hodnoty úseku 2	Hodnoty úseku 3	Hodnoty úseku 4	Hodnoty úseku 5	Hodnoty úseku 6	Hodnoty úseku 7
Průměr dopravního potrubí	d /m/	0,28	0,355	0,45	0,25	0,28	1,0	1,0
Hmotnostní směšov. poměr	$\frac{v}{\rho}$ /1/	0,612	0,675	0,623	0,752	0,675	-	-
Rychlosť doprav. vzduchu	$v / \frac{m}{s} \cdot \frac{1}{s} \cdot \frac{1}{s} \cdot \frac{1}{s}$	25	28,2	28,5	25,5	28,2	5,7	5,7
Objemový průtok vzduchu	$V / \frac{m^3}{s} \cdot \frac{1}{s} \cdot \frac{1}{s} \cdot \frac{1}{s}$	1,539	2,791	4,532	1,251	1,741	4,532	4,532
Poměr rychlosť	$\frac{w/v}{v} - / 1 /$	0,877	0,877	0,877	0,877	0,877	-	-
Měrný tlakový spád	$R/Pa \cdot m^{-1}$	26	23	18	28	31	0,34	0,34
Gasterstadův součinitel	$k / 1 /$	0,8	0,83	0,88	0,77	0,83	-	-
Spád na počáteční urychlení:								
...vzduchu	$\Delta p_{v_1} / Pa /$	375	477,1 ⁺¹	487,4 ⁺¹	390,2	477,1	124,4 ⁺¹	124,4 ⁺¹
...materiálu	$\Delta p_{m_1} / Pa /$	402,5	-	-	514,7	564,9	-	-
	$\Delta p_{v_2} / Pa /$	403	312,8	216	210	248	2,4	0,7
	$\Delta p_{m_2} / Pa /$	197,3	175,2	118,4	121,6	138,9	-	-
	$\Delta p_{m_3} / Pa /$	35,2	-	31	43,3	38,8	-	-
	$\Delta p_{v_4} / Pa /$	135	-	141,3	222,4	501	85,8	4,5
	$\Delta p_{m_4} / Pa /$	165,2	-	218,6	211,2	231,8	-	-
Spád úseku	$\sum \Delta p_i / Pa /$	1713,2	488	725,3	1713,4	2200,5	15,8 ⁺²	5,2 ⁺³
Celkový spád	$\sum \Delta p / Pa /$					+400	+3000	
						$\Delta p_1 + \Delta p_2 + \Delta p_3 + \Delta p_6 + \Delta p_7 \triangleq \Delta p_2 + \Delta p_3 + \Delta p_4 + \Delta p_6 + \Delta p_7 \triangleq \Delta p_3 + \Delta p_5 + \Delta p_6 + \Delta p_7 \triangleq 6348$	$+2$ tlaková ztráta odlučovače z tab. 7b [7]	
								$+3$ tlaková ztráta filtrů z tab. 7b [1]

+1 nepřipočítává se, uvedeno pro výpočet $\Delta p_{v_4}, \Delta p_{m_4}$; +2 tlaková ztráta odlučovače z tab. 7b [7]
+3 tlaková ztráta filtrů z tab. 7b [1]

Tabulka 7b. Součinitelé vřazených odporů a výpočet ekonomických poměrů pro řešení A - 1.

Ukazatel	Označení /Rozměr/	Hodnoty úseku 1	Hodnoty úseku 2	Hodnoty úseku 3	Hodnoty úseku 4	Hodnoty úseku 5	Hodnoty úseku 6	Hodnoty úseku 7
Redukční vložka	- $\xi /1/$	-	-	-	-	0,165	0,25	-
Oblouk VS1 ⁺¹ /90°, R/d=1,5/	$\beta \cdot \xi /1/$	4..0,18	-	-	4..0,18	4..0,18	-	-
Oblouk /90°, R/d=1,5/	m. $\xi /1/$	0,18	-	-	0,18	0,18	3..0,23 ⁺²	0,23 ⁺²
Oblouk VS1 /60°, R/d=1/	$\beta \cdot \xi /1/$	-	-	4..0,18	-	-	-	-
Oblouk /30°, R/d=1/	$\xi /1/$	-	-	0,11	-	-	-	-
Rozbočka	$\xi /1/$	-	-	-	0,045	0,44	-	-
Odlučovač SPIN 1600	$\Delta p_z /Pa/$	-	-	-	-	-	400	-
Filtr FHD	m. $\Delta p_z /Pa/$	-	-	-	-	-	-	3..1000
Součet	$\sum \beta \cdot \xi /1/$	0,72	-	0,72	0,72	0,72	-	-
Součet odporů v úseku	$\sum \xi /1/$	0,36	-	0,29	0,57	1,05	0,69	0,23
Výkon pneumatické dopravy	N /W/							
Účinnost	$\eta /1/$						0,7	
Příkon elektromotoru	N _e /kW/							
Měrný příkon na dopravu	n/kWhMg ⁻¹ m ⁻¹ /							
		28 769						

m - počet vřazených odporů v úseku

+1 - dle obr.8.

+2 - R/d = 1

+3 - stanoveno dle normy PM 12 3349

51,4 /vybraný motor F 250 M02
n= 2970min⁻¹/+3 55kW

0,26

pomocí pásového dopravy do přímo do hydraulického lisu PL 120. Ventilátor s elektromotorem je umístěn ve zvukotěsné konožce. Na sacím i výtlacném hrdle je ventilátor opatřen tlumícími vložkami, které zamezují přenos hluku připojeným potrubím. Výstup ventilátoru je nanojen na tři seriově zapojené filtry PUD. Filtrační plocha filtru je $37,5 \text{ m}^2$, $V = 3750 - 7000 \text{ m}^3 \text{h}^{-1}$, $N_e = 1,9 \text{ kW}$. Filtr odfiltruje jemné částice, které nezachytí odlučovač a vrátí odsátý vzduch zpět do oddělení. Návrat čistého vzduchu u varianty A - 1 má velký význam pro značné průtočné množství $/V = 16400 \text{ m}^3 \text{h}^{-1}$. V zimním období by se využívaný vzduch mimo fasádu musel doplňovat, což by se prohlito ve velké spotřebě tepelné energie. Prachové částice zachycené filtrem jsou lisovány a vynášeny z filtru šnekovým dopravníkem.

Druhý skupinový systém podtlakové pneumatické dopravy / varianta A-2 / je navržen pro odsávání krátkých páskových papíru. Návrh parametrů a rozměrů varianty je uveden v tabulkách 2a, 2b. Výpočty jsou provedeny dle kapitoly 3.2.2. Odřezky jsou odsávány od linky na výrobu vazeb typu VI a od linky LBW za-končenou třínožovým řezacím strojem SD4 - EZ. Na tyto místa vý-skytu je připojen sací základ, pomocí kterého je odpadový pa-pír odsán automaticky po odřezu. Každá větev je opatřena oheb-nou hadicí a kruhovým průběžným šoupátkem. Zavírací potrubí sítě je provedeno ve vyšší úrovni než u varianty A - 1. K od-sávání odpadu papíru je navržen radiální středotlaký ventilá-tor 500 PN 123237, $V = 1,17 \text{ m}^3 \text{s}^{-1}$, $\Delta p_c = 2810 \text{ Pa}$, poháněný elektromotorem F 160 NC4, $N_e = 11 \text{ kW}$, $n = 2300 \text{ ot. min}^{-1}$, převod klínovými řemeny. Ventilátor s elektromotorem je pružně uložen. Odpadový papír je odsán do odlučovačů DSA 800/l umí-stěných na stěše budovy. Systém dvou odlučovačů a dvou zá-

Tabulka 8a. VÝPOČET PNEUMATICKÉ DOPRAVY PRO ŘEŠENÍ A-2.

Ukazatel	Označení /Rozměr/	Hodnoty v úseku 10	Hodnoty v úseku 11	Hodnoty v úseku 12	Hodnoty v úseku 13	Hodnoty v úseku 14
Průměr dopravního potrubí	d /m/ μ /1/	0,18 0,071	0,25 0,071	0,18 0,071	0,551 +3 -	0,551 +3 -
Hmotnostní směšovací poměr	v /m s ⁻¹ /	23	23,85	23	-	-
Rychlosť dopravního vzduchu	v /m ³ s ⁻¹ /	0,585278	1,170725	0,585278	4,7	4,7
Objemový průtok vzduchu	w/v /1/	0,622	0,622	0,622	1,170725	1,170725
Poměr rychlosťí	R/Pa m ⁻¹ /	36	26	36	-	-
Měrný tlakový spád	k /1/	0,5	0,54	0,5	0,46	0,46
Gasterstadtův součinitel					-	-
Spád na počáteční urychlení	••• vzduchu					
	Δp_{v1} /Pa/	317,4	341,2 +1	317,4	13,2 +1	13,2 +1
	Δp_m /Pa/	28	-	28	-	-
	Δp_{v2} /Pa/	1008	208	684	5	2,8
Spád na tření vzduchu	••• materiálu					
	Δp_{m2} /Pa/	35,7	8	24,3	-	-
	Δp_{m3} /Pa/	6,2	6,2	6,2	-	-
Spád na zdvívání materiálu	••• materiálu					
	Δp_{v4} /Pa/	239,6	245	574,5	10,7	15,6
Spád vzduchu v odporech	Δp_{m4} /Pa/	16,2	17,4	16,2	-	-
Spád materiálu v odporech						
Spád úseku	$\sum \Delta p_i$ /Pa/	1651,1	484,6	1650,6	15,7 +2 +500	18,4
Celkový spád	$\sum \Delta p$ /Pa/	$\Delta p_{10} + \Delta p_{11} + \Delta p_{13} + \Delta p_{14} = \Delta p_{11} + \Delta p_{12} + \Delta p_{13} + \Delta p_{14} = 2670$				

+1 nepřipočítává se, uvedeno pro výpočet Δp_{v4} , Δp_{m4} ; +2 tlaková ztráta odlučovače z tab. 8b [8]

+3 podle /3.13./

Tabulka 8b. Součinitelé vřazených odporů a výpočet ekonomických poměrů pro řešení A-2.

Ukazatel	Označení /Rozměr/	Hodnoty v úseku 10	Hodnoty v úseku 11	Hodnoty v úseku 12	Hodnoty v úseku 13	Hodnoty v úseku 14
Redukční vložka	$\xi /1/$	-	-	0,577	-	-
Ohebná hadice	$\xi /1/$	0,395	-	0,493	-	-
Oblouk VSL+1/90°; R/d = 1,5/90°; R/d = 1,5/	$b \cdot \xi /1/$	4,0,18	4,0,18	-	-	-
Oblouk /60°; R/d = 1/30°; R/d = 1/	$m \cdot \xi /1/$	0,18	0,18	0,18	0,18	0,18
Oblouk /15°; R/d = 1,5/	$\xi /1/$	-	-	-	0,18	-
Rozbočka	$\xi /1/$	-	-	-	0,18	-
Odlučovač DSA 800/1	$\Delta p_z /Pa/$	-	2,0,044	-	-	-
Výstavka	$\xi /1/$	-	0,27	0,38	0,27	-
Součet	$\sum \xi /1/$	0,72	0,72	500	500	-
Součet odporů v úseku	$\sum \xi /1/$	0,755	0,718	1,81	0,81	1,18
Výkon pneumatické dopravy	N /W/			3126		
Účinnost	$\eta /1/$			0,45		
Příkon elektromotoru	Ne /kW/			8,7	Vybrán motor F 160 M04 n=2300 min ⁻¹ /t ² 11 kW;	
Měrný příkon na dopravu	n/kWhMg ⁻¹ m ⁻¹ /			0,42		

■ - počet vřazených odporů v úseku +2 - stanoveno podle firemních materiálů [6].

+1 - podle obr.8.

sobníků je navržen pro střídavé ukládání a vybíráni odpadového papíru ze zásobníků. Toto řešení je nutné z důvodu plynulé výroby u automatických linek. Střídavé ukládání je ovládáno pomocí přeřazovacích rozboček ovládaných pneumatickým válcem. Po naplnění zásobníku odpadem přeřadíme dopravní cestu do odlučovače pod kterým je zásobník prázdný a uzavřený. Zároveň s přeřazením rozbočky pro přívod vzdušnosti s odpadem do odlučovače se přeřadí rozbočka umožňující sání vzdušnosti z téhož odlučovače. Zásobníky se uzavírají pomocí šoupátek. Naplněné zásobníky se vybírají pomocí pásového dopravníku přímo do lisu PL 12. Na sacím i vytlačném hrdle ventilátoru jsou tlumící vložky. Výstup z ventilátoru je vyveden nad úroveň budovy, kde je potrubí zakončeno kolenem.

4.2. Popis navrhované varianty "B".

V této variantě je pro oddělení dokončujícího zpracování nevržena mechanická i pneumatická doprava. Mechanická doprava je realizována pomocí pásových dopravníků. Pásové dopravníky dopravují odpadový papír podél téměř celého oddělení od linky na výrobu vazeb typu V 1 až do zásobníků v oddělení lisování. První pásový dopravník /vlastní závod/ je krátký, orientovaný v nízkém stoupání od linky směrem ke zdi nad další dopravník typu 720/40 SN o šířce pásu 400 mm, $L = 11200$ mm, $N_e = 0,75$ kW, se zábědlem. Tento dopravník je umístěn podél zdi oddělení a bude na něj shazován odpadový papír od dvou přemístěných jednonožových řezacích strojů. Třetí dopravník typu INFT 805 o šířce pásu 500 mm, $L = 8000$ mm, $N_e = 1,5$ kW dopravuje odpadový papír směrem ke stropu oddělení nad další dopravník. Na tento dopravník bude v dolní

části shazován odpadový papír od třetího jednonožového řezacího stroje, který je potřeba k dopravnímu pásu taktéž přemístit. U tohoto stroje je navrhován již šikmý dopravník / korýtkového typu / z důvodu dřívějšího přechodu do úrovně pod stropem a tím menším zabráněním pracovního prostoru. Následující dopravník typu 720/60 SN o šíři pásu 650 mm, L = 21 200 mm, Ne = 1,5 kW zavěšený pod stropem oddělení dopravuje odpad do zásobníku v oddělení lisování.

Pneumatická doprava je navržena pro odsívání odřezů od třínožového řezacího stroje SDY - EZ napojeného na linku LBW. Odsávány jsou krátké pásky papíru / varianta B /. Návrh parametrů a rozměrů varianty je uveden v tabulkách 9a, 9b. Výpočty jsou provedeny dle kapitoly 3.2.2. Na třínožový řezací stroj je připojen sestávající pomocí kterého je odpadový papír ihned odsáán. Dále potrubní síť pokračuje ohebnou hadicí, která usnadňuje montáž potrubní sítě do požadované polohy stroje. Za ohebnou hadicí následuje kruhové průběžné šounátko umožňující v případě potřeby přerušení dopravní cesty. Potrubí je zavěšeno pod stropem oddělení. V místnostech, kde jde potrubí současně s pásovým dopravníkem je potrubí v takové vzdálenosti, aby byl možný přístup ke kontrolním otvorům v potrubí. Při přistavení řebříku zahájením o bočnici pásového dopravníku je možno kontrolovat jednak správnou funkci pásového dopravníku a jednak umožňuje bezpečné nahlédnutí do kontrolních otvorů v potrubí. K odsávání odpadového papíru je navržen radiální středotlaký ventilátor 400 FN 123237, V = 0,738 $m^3 s^{-1}$, Δpc = 2450 Pa, poháněný elektromotorem AP 132s-2, Ne = 7,5 kW, n = 2880 min^{-1} . Převod klínovými řemeny. Ventilátor s elektromotorem je pružně uložen pomocí pružinového izolátoru, který

Tabulka 9a. VÝPOČET PNEUMATICKÉ DOPRAVY PRO ŘEŠENÍ B.

Ukazatel	Označení /Rozměr/	Hodnoty v úseku 1	Hodnoty v úseku 2	Hodnoty v úseku 3	Hodnoty v úseku 4
Průměr dopravního potrubí	d /m/	0,2	0,22 +1	0,346 +1	0,346 +1
Hmotnostní směšovací poměr	μ /1/	0,09	0,09	-	-
Rychlosť dopravního vzduchu	$v /m s^{-1}/$	23,5	18,455	7,43	7,43
Objemový průtok vzduchu	$v^3 /m^3 s^{-1}/$	0,7382	0,7382	0,7382	0,7382
Poměr rychlosťí	$w/v /1/$	0,622	0,622	-	-
Měrný tlakový spád	$R/Pa m^{-1}/$	33	19	2	2
Gasterstřídavý součinitel	k /1/	0,5	0,5	-	-
Spád na počáteční urychlení	••• vzduchu	$\Delta p_{v_1} /Pa/$	331,4	204,35 +2	33,2 +2
Spád na tření	••• materiálu	$\Delta p_{m_1} /Pa/$	37,1	-	-
Spád vzdoru	••• materiálu	$\Delta p_{v_2} /Pa/$	995	4,75	10
Spád na zdvihání materiálu	••• materiálu	$\Delta p_{m_2} /Pa/$	44,8	0,2	-
Spád vzduchu v odporech	••• materiálu	$\Delta p_{m_3} /Pa/$	16,7	-	-
Spád materiálu v odporech	••• materiálu	$\Delta p_{v_4} /Pa/$	355,9	124,7	43,8
Spád úseku	••• materiálu	$\Delta p_{m_4} /Pa/$	86,4	-	44,5
Celkový spád		$\sum \Delta p_i /Pa/$	1867,3	129,65	64,3 +3
+1 dle /3.13./		$\sum \Delta p /Pa/$	$\Delta p_1 + \Delta p_2 + \Delta p_3 + \Delta p_4 = 2596 +480$		54,5
+2 nepřipočítává se, uvedeno pro výpočet Δp_{v_4} , Δp_{m_4} .					+3 tlaková ztráta odlučovacé z tab. 9b [8]

Tabulka 9b. Součinitelé vřazených odporů a výpočet ekonomických poměrů pro řešení B.

Ukazatel	Označení /Rozměr/	Hodnoty v úseku 1	Hodnoty v úseku 2	Hodnoty v úseku 3	Hodnoty v úseku 4
Ohebná hadice VS1 ⁺¹	$\beta \cdot \xi /1/$	4..0,544	-	-	-
Oblouk VS1 ⁺¹ /90°; R/d = 1,5/	$\beta \cdot \xi /1/$	4..0,18	-	-	-
Oblouk /90°; R/d = 1,5/	m. $\xi /1/$	3..0,18	-	$3..0,23^{+2}$	$0,23^{+2}$
Oblouk /60°; R/d = 1 /	$\xi /1/$	-	-	0,18	-
Oblouk /30°; R/d = 1 /	$\xi /1/$	-	-	0,11	-
Odskok /I/d = 4,5/	$\xi /1/$	0,16	-	-	-
Přechod	m. $\xi /1/$	0,01	0,29	2..0,01	0,11
Rozbočka	$\xi /1/$	-	0,32	0,32	-
Odlučovač DSA 630/1	$\Delta p_z /Pa/$	-	-	480	-
Výstrelka	$\xi /1/$	-	-	-	1
Součet	$\sum \beta \cdot \xi /1/$	2,896	-	-	-
Součet odporů v úseku	$\sum \xi /1/$	1,074	0,61	1,32	1,34
Výkon pneumatické dopravy	N /W/			1916	
Účinnost	$\eta /1/$			0,45	
Příkon elektromotoru	Ne /kW/			5,3 /Vybrán motor AP 132s-2;	
Měrný příkon na dopravu	n/kWhMg ⁻¹ m ⁻¹ /			n = 2880/ ⁺³ 7,5 kW	0,68

m - počet vřazených odporů v úseku +2 - R/d,

+1 - podle obr.8.

+3 - stanoveno podle firemních materiálů [6].

tlumí chvění přenášené do základů a ostatních konstrukcí v širokém rozsahu. Odpadový pacír je odsán do odlučovače DŠn 630/1 umístěných na střeše budovy. Je zde navržen systém dvou odlučovačů a dvou zásobníků jako ve variantě A - 2. Výstup z ventilátoru je vyveden nad úroveň budovy kde je potrubí zakončeno 'kolenem / výstřikou'.

5. HODNOCENÍ A VÝBĚR OPTIMÁLNÍHO ŘEŠENÍ.

Při hodnocení a výběru optimální varianty využijeme bodovou analýzu. Cílem bodové analyzy je vybrat nejlepší variantu dle nejpříznivější technické hodnoty řešení nákladů na realizaci a celkové společenské hodnoty.

Postup hodnocení je založen na porovnání hodnocených variant s tzv. ideálním řešením. Při hodnocení zvolíme kriteria /funkční vlastnosti/, počet kriterií označíme n.

z_j - počet bodů pro jednotlivé kriterium,

z_i - počet bodů pro ideální řešení - $z_j \max. = z_i$

KRITERIUM	VARIANTA	A	B	IDEÁLNÍ ŘEŠENÍ
1. účinnost	2	3		4
2. bezpečnost	4	3		4
3. hlučnost	2	3		4
4. energetická náročnost	1	3		4
5. nároky na prostor	3	2		4
6. hygiena provozu	5	2		4
7. nebezpečí přerušení provozu	1	2		4
C E L K E M	16	18	$n \cdot z_i = 20$	

Bodová stupnice:

Počet bodů z _j	hodnocení
0	nesplňuje dležité kriterium
1	uspokojující
2	dobře splňuje kriterium
3	velmi dobře
4	výborné

Technickou hodnotu vypočítáme, jestliže počet bodů jedné varianty podělíme bodovým hodnocením ideálního řešení.

$$X_i = \frac{\sum_{j=1}^n z_j}{z_i} \leq 1 \quad /5.1./$$

Technická hodnota varianty "A" : $X_A = \frac{16}{28} = 0,571$

Technická hodnota varianty "B" : $X_B = \frac{16}{28} = 0,643$

Výhodnější je varianta, která se blíží číslu 1.

Společenská hodnota postihuje náklady na řešení a lze ji vypočítat

$$Y = \frac{\sum_{i=1}^n N_i}{N_0} > 1 \quad /5.2./$$

N_0 - náklady na ideální řešení /zvolíme odhad 130 000 Kčs/

N_i - náklady na reálné řešení.

Náklady na variantu "A"	Kčs
Eneumatická doprava A - 1	130 887,-
- montáž, uvedení do provozu	7 350,-
- zásobník	22 600,-
- hydraulický lis LP 120	45 700,-
- pásový dopravník 720/60 SN; L = 5200	10 200,-
- protihluková komora	1 634,-

Pneumatická doprava A - 2	33 300,-
- montáž, uvedení do provozu	6 550,-
- zásobník	24 500,-
Mechanická doprava	
- zásobník s násypkou	12 740,-
- pásový dopravník FNPT 405	4 520,-
- pásový dopravník FNPT 605	5 560,-
- pásový dopravník FNPT 805	6 650,-
- přemístění dvou řezacích strojů	<u>648,-</u>
Celkem N _A	312 239,-

Náklady na variantu "B"	Kčs
<hr/>	
Pneumatická doprava B	25 064,-
- montáž, uvedení do provozu	6 250,-
- zásobník	24 500,-
Mechanická doprava	
- pásový dopravník 720/40 SN; L = 11 200	20 800,-
- pásový dopravník 720/60 SN; L = 21 200	39 200,-
- 2 x pásový dopravník FNPT 805	13 300,-
- pásový dopravník FNPT 405	4 520,-
- pásový dopravník FNPT 605	5 560,-
- zásobník s násypkou	12 740,-
- přemístění pěti řezacích strojů	<u>1 520,-</u>
Celkem N _B	153 554,-

Do nákladů nejsou započítány práce zednické a elektříkářské.

Zadle vzorce /5.2./ pak

$$Y_A = \frac{N_A}{N_i} = \frac{312 239}{130 005} = 2,402$$

$$Y_D = \frac{Y_B}{Y_i} = \frac{153\ 554}{130\ 000} = 1,181$$

Celkovou společenskou hodnotu řešení lze vypočítat

$$S = \frac{X}{Y}$$

$$S_A = \frac{X_A}{Y_A} = \frac{0,571}{2,402} = 0,238 ; \quad S_B = \frac{X_B}{Y_B} = \frac{0,643}{1,181} = 0,544$$

Nejlepší varianta po technické i ekonomické stránce je varianta "B", protože se její celková společenská hodnota blíží nejvíce ideálnímu řešení, které by mělo tuto hodnotu rovnou 1.

6. KONSTRUKČNÍ ŘEŠENÍ VARIANTY "D".

Popis funkce varianty je proveden v kapitole 4.2. Konstrukce je zřejmá z přiložené výkresové dokumentace. Přestavování rozboček pneumatickými přímočarými motory (viz příloha č.4./) je ovládané pomocí elektrických signálů dle přílohy č.5. Ovládání je polosautomatické. Po stisknutí příslušného tlačítka, které je světelně signalizováno, se odenknou elektromagnetické zámky, zapne elektromotor pohánějící kompresor, přesune rozvaděč do příslušné polohy a rozbočka zaujme novou krajní polohu. V nové poloze sepnou koncové spínače, které zaistí polohu rozbočky proti násáti podtlakem elektromagnetickými zámky, rozsvítí druhou signalizační žárovku a vypne elektromotor. Po rozsvícení druhé žárovky můžeme přistoupit k otevření odpojené komory zásobníku z pneumatické dopravy a odpad lisovat.

Pro doplnění komplexnosti diplomové práce bylo přistoupeno ke konstrukci zásobníků. **/

**/ Diplomantem byla zpracována podrobnější výkresová dokumentace, která ve dohodě s vedoucím diplomové práce nebyla připořena.

Návrh byl proveden dle [11] [12] takto:

- sklon šikmých stěn zásobníků musí odpovídat vlastnostem obsahu zásobníku, aby materiál sjížděl plynule po stěnách a netvořily se klenby,
- nutnou podmínkou vyprázdrování zásobníků je, že úhel stěn α s vodorovnou rovinou

$$\alpha > \psi_1 + /5 \text{ až } 10^\circ/$$

kde ψ_1 je úhel tření sypného materiálu o stěny zásobníku.

Tento úhel tření byl experimentálně zjištěn na nakloněné rovině a činí $\psi_1 = 16^\circ 4'$.

U navržených zásobníků neklesá úhel α pod 64° . Podmínka vyprázdrování je tedy splněna.

- při plném zásobníku /dále jen pro zásobník napojený na pneumatickou dopravu/ s přijatelnou vřesností je podle Jansena 11, při výšce sloupce materiálu $y /m/$, tlak $p_y /Pa/$ na dno zásobníku

$$p_y = \frac{\rho_M \cdot g \cdot S_z}{f_1 \cdot C_z \cdot t} \left(1 - e^{-\frac{f_1 \cdot C_z \cdot t}{S_z}} \cdot y \right) /5.2./$$

ρ_M - sypná hustota materiálu $/kg \text{ m}^{-3}/$

g - tíhové zrychlení $/m \text{ s}^{-2}/$

S_z - vnitřní vlocha dna zásobníku $/m^2/$

C_z - obvod dna zásobníku $/m/$

f_1 - součinitel tření mezi materiálem o stěnami zásobníku /1/

$$t = \tan^2 \left(\frac{\pi}{4} - \frac{\psi}{2} \right)$$

ψ - sypný úhel materiálu

$$\rho_M = 145 \text{ kg m}^{-3}; \quad S_z = 0,56 \text{ m}^2; \quad C_z = 3 \text{ m}; \quad f_1 = 0,282;$$

$$\psi = 40^\circ; \quad y_{max} = 3 \text{ m};$$

$$t = \tan^2 \left(\frac{\pi}{4} - \frac{40}{2} \right) = 0,217$$

$$p_{y \text{ max}} = \frac{145 \cdot 9,81 \cdot 0,56}{0,288 \cdot 3 \cdot 0,217} \left(1 - e^{-\frac{-0,288 \cdot 3 \cdot 0,217}{0,56} \cdot 3} \right)$$

$$= 2692,5 \text{ Pa}$$

- otevírací odpor u šoupátkových uzávěrů

$$F_w = (1,2 \text{ až } 1,5) p_y \cdot s_z (f_1 + f'_1) \quad /6.3.1$$

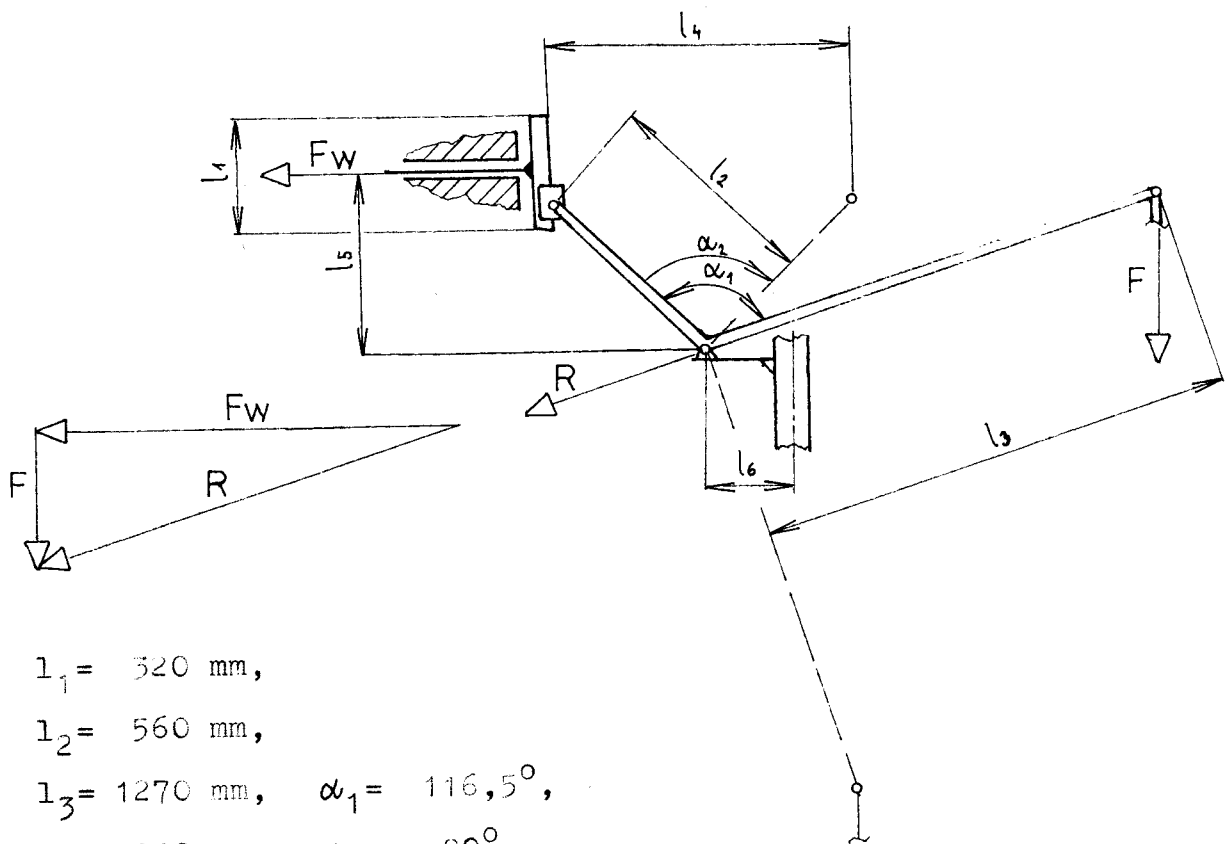
f'_1 - součinitel tření mezi uzávěrem a vedením .1/

Vzorec /6.3./ respektuje deformaci konstrukce zvýšením o 1,2 až 1,5/. $f'_1 = 0,2$

$$F_w = 1,5 \cdot 2692,5 \cdot 0,56 (0,288 + 0,2) =$$

$$= 1103,7 \text{ N}$$

Pro otevírání je navržen tento pákový mechanismus /obr.9./



$$l_1 = 520 \text{ mm},$$

$$l_2 = 560 \text{ mm},$$

$$l_3 = 1270 \text{ mm}, \quad \alpha_1 = 116,5^\circ,$$

$$l_4 = 800 \text{ mm}, \quad \alpha_2 = 90^\circ,$$

$$l_5 = 580 \text{ mm}, \quad F_w = 1103,7 \text{ N}$$

$$l_6 = 240 \text{ mm}, \quad F \approx 360 \text{ N}$$

Obr.9. Pákový mechanismus otevírání komory zásobníku.

Mechanismus je navržen pro otevírání silou nohy. Při plném zásobníku je nutné vyvinout pro otevření žoupátkového uzávěru maximální sílu $F = 760 \text{ N}$ /Řešeno grafickou metodou/. Využitelný objem komory zásobníku je $9,5 \text{ m}^3$. Při maximální neztržité produkci na lince LBW je třeba komoru zásobníku vybírat přibližně po 5,5 hodinách. Při vhodné organizaci lisování by nemuselo být nadále obsozována druhá směna v oddělení lisování.

7. EKONOMICKÉ HODNOCENÍ

Instalací navrhovaných zařízení usnadňující manipulaci se ušetří v oddělení dokončujícího zpracování dvě povozné pracovní síly. Jeden pracovník zařazený ve 4. platové třídě s průměrným, hrubým, měsíčním výdělkem 1 710 Kčs a druhý v 5.tř. s výdělkem 1 555 Kčs.

Dále je prakticky zajištěna oddělená přeprava veškerých odřezů vyskytujících se v závodě. Spolu se strážky a obalovým papírem lze tento odpad zařadit dle ČSN 50 1990 /Chěrový papír/ do třídy P2. Dle [13] lze papír s obsahem dřevoviny, bílý ve třídě P2 odprodat Sběrným surovinám za 1 100 Kčs za 1 tunu. Dle kapitoly 1.2. lze přibližně zjistit, že 80% této kvalitní druhotné suroviny lze zařadit do této třídy. Předpokladem tohoto zařazení je odpovědná a svědomitá práce dělníků lisovny. Bylo by vhodné tyto pracovníky patřičně zainteresovat na výsledku odprodeje odpadu. V současné době je veškerý odpadový papír zařazován do třídy P7, která je hodnocena 800 Kčs za 1 tunu.

K posouzení výhodnosti investiční akce použijeme těchto výpočtů:

JIM

$T_u = \frac{\text{přemožná úspora provozních nákladů}}{\text{7.1.}}$

JIN

$$E = \frac{1}{T_1} \text{roční přírůstek zisku}$$

/7.2./

T_1 - doba návratnosti investice /léta/

E - zisková návratnost /léta/

JIN - jednorázové investiční náklady /Kčs/

Průměrnou roční úsporu provozních nákladů vypočítáme z uspořených nákladů na uspořené pracovní síly, minus odpisy z nově pořízené investice. Odpisy činí ročně přibližně 21 500 Kčs.

$$T_1 = \frac{153 554}{12 \cdot (1710 + 1955) - 21 500} = 7,6 \text{ let.}$$

Průměrný roční přírůstek zisku vyjádříme rozdílem ceny při novém a starém způsobu zhodnocování odpadu.

Způsob zhodnocování:

- starý = 653 tun ve třídě II 7 ě 800 Kčs 522 400,- Kčs.
- nový = 60% = 362 tun ve třídě II 2 ě 1100 Kčs = 350 200,-
- 20% = 171 tun ve třídě I 7 ě 800 Kčs = 136 000,-

Celkové Kčs 907 600,-

$$\delta = \frac{153 554}{907 600 - 522 400} = 0,75 \text{ let}$$

Z vypočtených hodnot je zřejmé, že jde o výhodnou investici. Zvláště je také příjemná zisková návratnost a tím také efektivnost celé akce.

Z Ú V Ě R .

Maximální využití stávajících surovinových zdrojů, lepšování pracovního prostředí, odstraňování fyzické náročnosti prací a snižování vlastních nákladů ve výrobě patří k rozvojovým směrům naší soudobé ekonomiky. Navrhované zlepšení, včetně uvedených opatření neznamenají převratné změny v práci tiskařských závodů, jsou však podstatnými ve směru usnadňujícím vnitrozávodovou manipulaci s důrazem na efektivní zhodnocení cenné druhotné suroviny.

Navrhovaná technická opatření jsou řešena tak, že je maximálně využito převážně hotových tuzemských výrobků a materiálu. Iří řešení celé problematiky byl kladen důraz hlavně na snížení fyzické náročnosti manipulačních úkonů a v souvislosti s úsporami značného množství odpadového papíru je touto prací dán příspěvek k řešení aktuálního problému i pro další polygrafické závody.

LITERATURA

- [1] Hejma,J.: Vzduchotechnika v dřevozpracujícím průmyslu.
Praha, SNTL 1981.
- [2] Urban,J.: Pneumatická doprava. Praha, SNTL 1964.
- [3] Mauer,K. - Mázl,F.: Vzduchotechnická zařízení.
Praha, SNTL 1977.
- [4] Dzjedzio,A.M.: Pnevmatičeskij transport na zernopererabatyvajuščch predprijatiyah.
Moskva, Zagtizdat 1961.
- [5] ON 12 0390. Chebná hadice s přírubami. 1977.
- [6] PN 12 3237. Radiální ventilátory transpostní. 1968.
- [7] Firemní literatura n.p. Strojtex / mechanické odlučovače SPIN/.
- [8] Firemní literatura n.p. Dřevostroj /odlučovač DSA/
- [9] Bindereport 8/1983.
- [10] Chýrský,J. - Oppl,L.: Větrání a klimatizace, technický průvodce. Praha, SNTL 1973.
- [11] Dražan,F. - Jeřábek,K.: Manipulace s materiélem.
Praha, SNTL/ALFA 1979.
- [12] Pustka,Z.: Konstrukční projekt. Liberec, ŠŠT 1985.
- [13] Ceník velkoobchodních cen VČ 30/19, 1982.

SCHÉMA PNEUMATICKÉHO OVLÁDÁNÍ

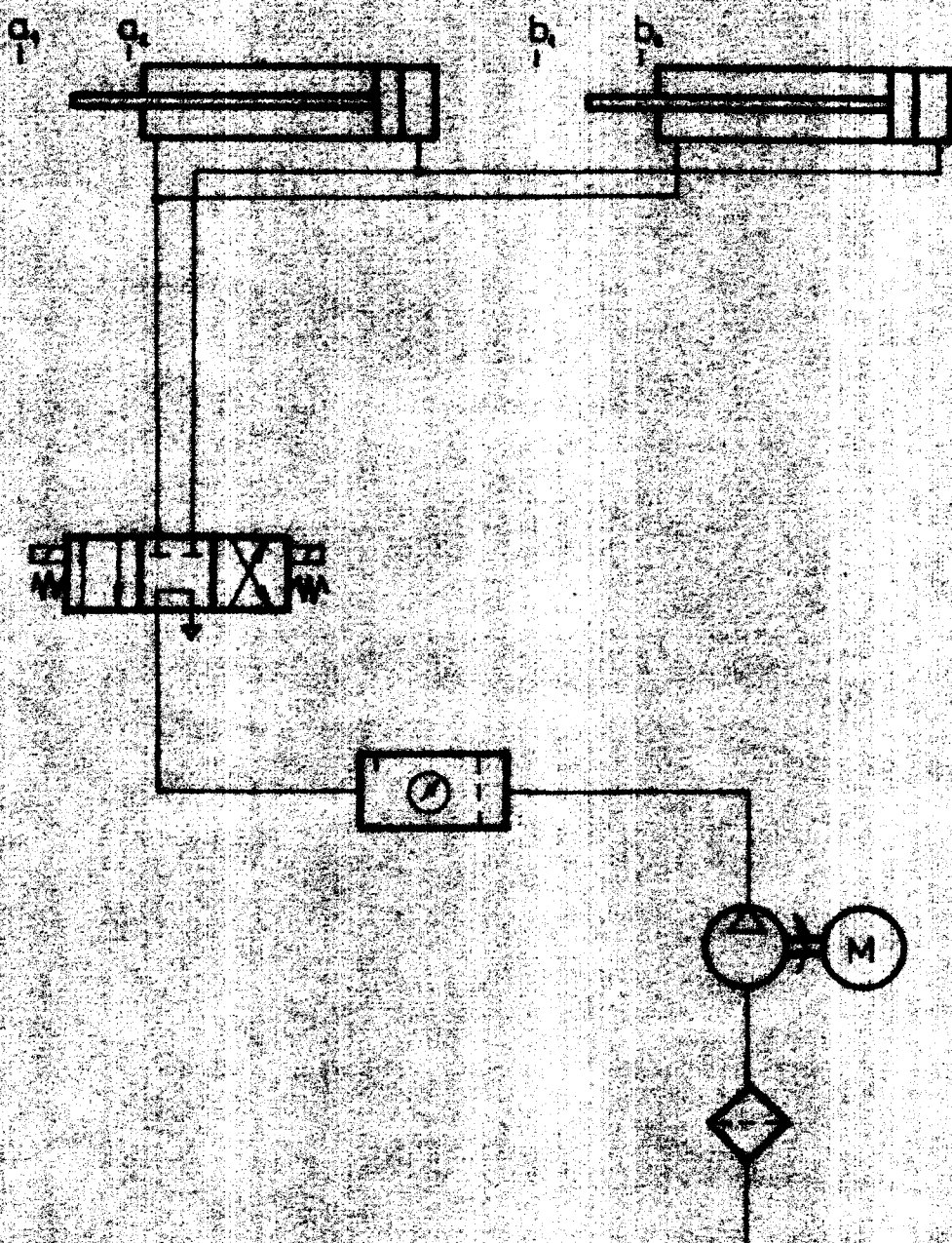
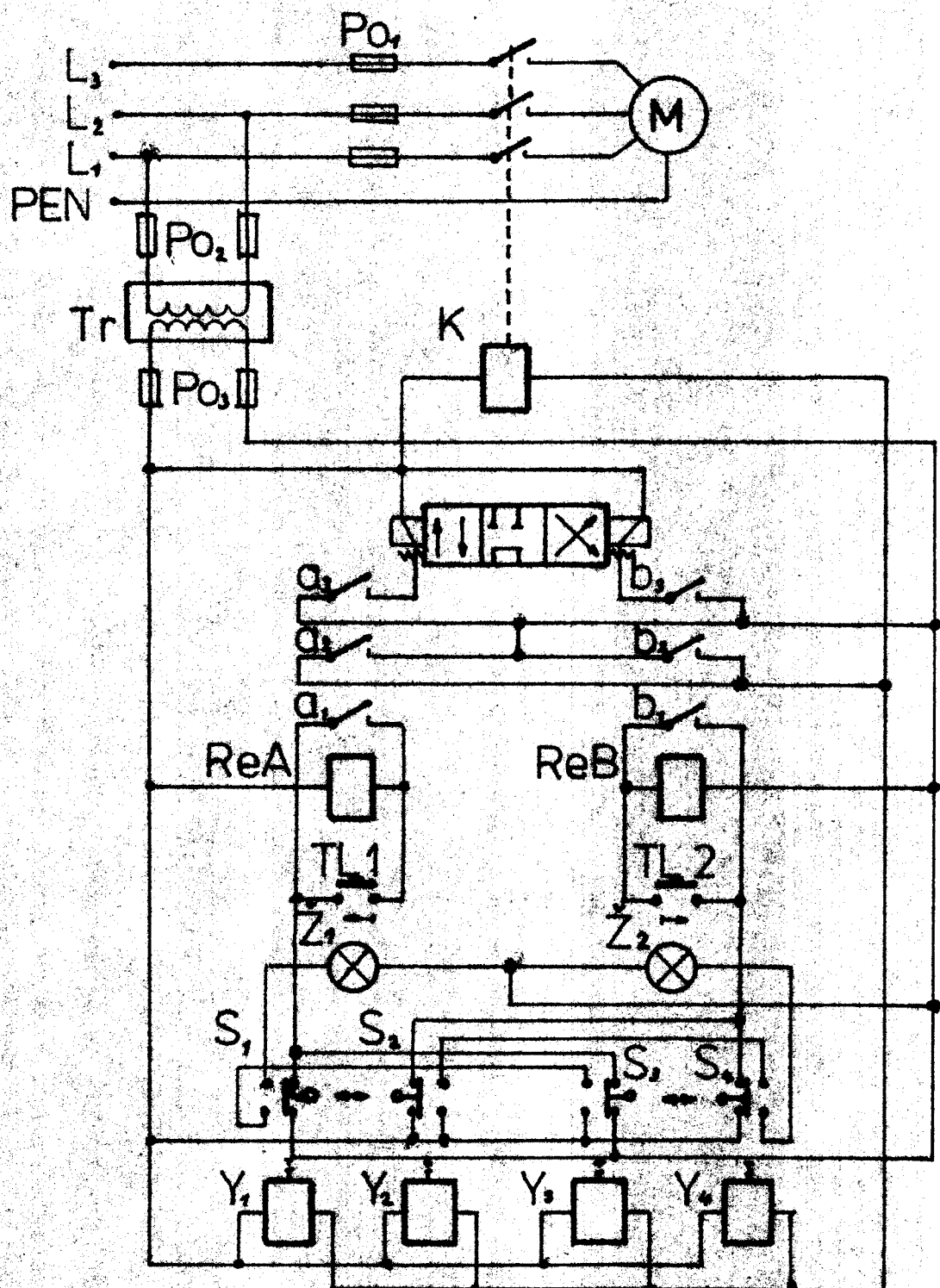


SCHÉMA ELEKTRICKÉHO OVLÁDÁNÍ A JIŠTĚNÍ ROZBOČEK



Příloha č.5.

Počet kusů	Název - rozměr	Pohotov	Mat. koncový	Mat. vložka	Výrob. odp.	C. vložka	C. vložka	C. vložka	Cíl výkresu	Poz.
1	2	3	4	5	6	7	8	9	10	
2	Prášková 355/775	PM 12 0439.0				10,4				21
2	Oblouk 355x315/315/90°	PM 12 0419				24				22
2	Rombolka 345	PM 12 1076.5				57				23
2	Oblouk 315x315/315/90°	PM 12 0419				18,2				24
1	Trojka 315x315-90°	PM 12 0419				33,2				25
1	Oblouk 315x315/315/60°	PM 12 0419				15,7				26
4	Prášková 315x15-1996	PM 12 0419				56,9				27
4	Prášková 315x315-1496-TP	PM 12 0419				40				28
1	Oblouk 315x315/315/90°	PM 12 0419				8,7				29
1	Oblouk 315x315/315/90°	PM 12 0419				18,2				30
2	Oblouk 99°-TP 315x315/315/17°	PM 12 0419				35,7				31
1	Prášková 315/915	PM 12 0439.0				7,9				32
1	Prášková 315x250-200	PM 12 0419				5,5				33
1	Mofka tlumič 250	PM 12 0251.0				4,5				34
1	Mofka tlumič 315x175	PM 12 0251.0				4,5				35
1	Oblouk 99° 315x315/315/90°					61,1				36
1	Oblouk 99° 315x315/315/17°					61,1				37
1	Ventilátor 400 37-AP1324-2-2000	PM 12 3437.3P				65				38
12	Oblouk 200	PM 12 0590				0,646				
1	Prášková 9-90	PM 02 9740								

Měřítko: Nášvlt. *Nášvltová*
 Prozkouset
 Klarov ref.
 Výro. projeďšťal

C. sníčka
 Schválen
 Dne: *25.4.1996*
 Skupina

C. transp.
 Dne: *25.4.1996*
 Počet vložek
 Počet vložek

Právky zkratky
 X
 X
 X
 X

**PNEUMATICKÁ
DOPRAVA**

2-KST-78-10-00

**VÝŠT
LÍMENÍ**

Počet kusů	Popisy - rozsáhlý	Příběhová	Mat. konečný	Mat. výchozí	II. řada odp.	C. možností		Cíl výkresu	Pos.
1		s	s	s	s	7	8	9	10
1	1. Kámen silného násypky		11373.0		001	4,9	4-KST-78-31-01	1	
1	1. Kámen silného násypky		11373.0		001	4,9	4-KST-78-31-01	2	
1	1. Dřevěné násypky		11373.0		001	8,7	4-KST-78-31-02	3	
1	1. Bobuše násypky		11373.0		001	8,7	4-KST-78-31-02	4	
1	1. Přední stěna násypky		11373.0		001	3,8	3-KST-78-31-03	5	
1	1. Přední stěna násypky		11373.0		001	3,8	3-KST-78-31-03	6	
2	1. Výška		11373.0		001	0,18	4-KST-78-31-04	7	
1	1. D. 30x20x3-1000	038 42 5545.01	11373.0		001	1,23			8
2	1. D. 30x20x3-1040	038 42 5545.01	11373.0		001	1,16			9
1	1. D. 30x20x3-1160	038 42 5545.01	11373.0		001	1,29			10
1	1. D. 30x20x3-657	038 42 5545.01	11373.0		001	0,74			11
1	1. D. 30x20x3-657	038 42 5545.01	11373.0		001	0,75			12
2	1. D. 30x20x3-558	038 42 5545.01	11373.0		001	0,6			13
1	1. D. 30x20x3-492	038 42 5545.01	11373.0		001	0,46			14

MĚSÍČKO	Kresl. <i>M. J. L.</i>	C. sára	Datum	Pořadis	Index změny
Překoušení					x
Normaliz.					x
Výr. projevnal.	Schváhl.	C. trado			x
	Dne 29.4.1986				x
TYP	Název	Skupina	Noty k rukresu		
7307	NÁSYPKA				
ZIDNÍK			1-KST-78-31-00		
			Počet listů 2	List 2	

Počet kusů	Název - rozměr	Početová	Mat. konečný	Mat. výchozí	Udelačka	C. hmotnost	C. výrob.
1					001	2,4	21
2	L30x20x3-2090	CSK 42 5545-01	11373,0		001	0,8	22
2	L30x20x3-730	CSK 42 5545-01	11373,0		001	7,6	23
2	L40x5-2590	CSK 42 5545-01	11373,0		001	19,4	24
1	180x2250	CSK 42 5570	11373,0		001	19,4	25
4	180-2590	CSK 42 5570	11373,0		001	22,4	26
5	180-2590	CSK 42 5570	11373,0		001	28,7	27
4	180-3325	CSK 42 5570	11373,0		001	16	28
2	M-100-201-1000 215/1100						
4	M775 M-25-500	CSK 62 2436-07	Drygl 436				29
4	Obrubník sítka 100x100	CSK 64 5410	DRUGA 4				30

Menítko	Kreslil: <i>M. Jelík</i>		C. sním.	
	Právou rukou			
	Nozn. řef.			
	Výk. projednat	SOVAK	C. trant.	
		Dne 20.4.1986		
VBST	TYP	Stříbrná		Novy Věk 103
SLEZSKO	Název			
ZÁSOBNÍK				
Peter Jelík				List 3

OKST-78-20-00

Město	Krasnodar	Cíl	
Překladatel			
Nájemce			
Výk. dokument	Schválik	číslo	
	Datum: 20.4.1986		
V383	Název	Skupina	Starý výkres
LIBERKIN			Nový výkres
RÁM		2-KST-78-32-00	
		Počet kusů:	2
		List 2	

Počet kusů	Název - rozměr	Paločovat	Mat. koncový	Mat. výchozí	Trida odp.	C. hmotnost		Cílo výroby	po
1		3	4	5	6	7	8	9	10
1	Přečesad 190x190/200x200							K-KST-78-10-01	1
2	Přečesad 200x200/450x200							K-KST-78-10-02	2
2	Přečesad 355x355/315x315							K-KST-78-10-03	3
1	Přečesad 315x315/300x150							K-KST-78-10-04	4
1	Závěsník							D-KST-78-20-00	5
1	Vesnička							S-KST-78-11-00	6
1	Přečesad 200x200	PM 12 0439.1				2,3			7
1	Strojní hadice 200x200	PM 12 0439.1				36,36			8
1	Přečesad lehké 200	PA 12 0453				2,9			9
7	Přečesad 200-200-PO	PM 12 0513				13,6			10
2	Strojní hadice 200-1907+TP	PM 12 0513				20,5			11
4	Oboušek 200/200/90°	PM 12 0513				6			12
9	Přečesad 200-1907	PM 12 0513				20,5			13
1	Přečesad 200-501	PM 12 0513				6			14
1	Přečesad s tříškou 200/200/150+TP	PM 12 0513				11			15
1	Přečesad s tříškou 200/200/150	PM 12 0513				11			16
2	Přečesad 220-200	PM 12 0513				11			17
1	Přečesad 200/200	PM 12 0439.0				3,6			18
1	Rovnávka 200	PM 12 1076.5				29,5			19
2	Přečesad 200x200-90°	PM 12 0419				11,9			20

MĚSÍČKO Kremel MHD/1978

Přečesad

Název

Výrobce

C. sním.

C. transp.

Dátum

E

D

D

M

D

D

Nový výkres

TISK
LITOMĚŘICE

Název

PNEUMATICKÁ
DOPRAVA

SLOV. VÝKRES

Počet kusů

2-KST-78-10-00

List 3

Počet řádků	Název výrobku	Početovac	Materiální	Materiál výrobek	Výroba číslo	C.		Cíl výrobku	Počet
1	2	3	4	5	6	7	8	9	10
1	Skloplast			11373.0	DO1	43,14	1-KST-78-31-00		7
1	Sklo			11373.0	DO1	5,06	2-KST-78-32-00		2
4	Notáče			11373.0	DO1	9,6	3-KST-78-30-01		3
2	Dok			11373.0	DO1	9,5	3-KST-78-30-02		4
2	Dok			11373.0	DO1	9,5	3-KST-78-30-02		5
2	Dok			11373.0	DO1	9,5	3-KST-78-30-02		6
2	Skladové technice			11373.0	DO1	3,6	3-KST-78-30-03		7
2	Skladové technice			11373.0	DO1	3,6	3-KST-78-30-03		8
2	Skladové technice			11373.0	DO1	3,6	3-KST-78-30-03		9
2	Skladové technice			11373.0	DO1	3,6	3-KST-78-30-03		10
2	Skladové technice			11373.0	DO1	3,6	3-KST-78-30-03		11
2	Ekspresní technice			11373.0	DO1	5,4	4-KST-78-30-04		12
2	Ekspresní technice			11373.0	DO1	5,4	4-KST-78-30-04		13
15	Stříbrný dok			11373.0	DO1	5,4	4-KST-78-30-05		14
1	Prášek			11373.0	DO1	4,4	4-KST-78-30-06		15
2	Dok			11373.0	DO1	0,19	4-KST-78-30-07		16
4	L 100-1102-150	DO1	42 5510.12	11373.0	DO1	1,92			17
2	L 400-2260	DO1	42 5541.01	11373.0	DO1	6,5			18
2	L 400-2270	DO1	42 5543.01	11373.0	DO1	6,15			19
3	L 300-200-1504	DO1	42 5545.01	11373.0	DO1	1,46			20

ZÁSOBNÍK S NÁSYPKOU

0-KST-78-30-00

METHING	Kreski: <u>00000000</u>	C. salm.
	Přezkoušel:	
	Norm. ref.:	
	Výv. deska/čísel:	
		C. LID 13

100

三六四

ZÁSOBNÍK S NÁSYPKOU

D-KST-78-30-00

L i t e r a t u r a

- /1/ ČSN 01 0250 Statistické metody v průmyslové praxi,
České Budějovice 1973
- /2/ ZP - 018 - SŽ 202 Praha
- /3/ TGL - 46 - 0144
- /4/ POGRA praxis report Nr. 21/September 1975
- /5/ Olechla M., Olechla J., Věchet V. : Některé úlohy matematické statistiky ve Fortranu, NADAS
Praha 1982
- /6/ Dražík V., Moč L. : Teorie spolehlivosti a řízení jakosti,
skripta VŠST Liberec, 1984
- /7/ Syrový V. : Využití matematické statistiky při hodnocení jakosti. tisku